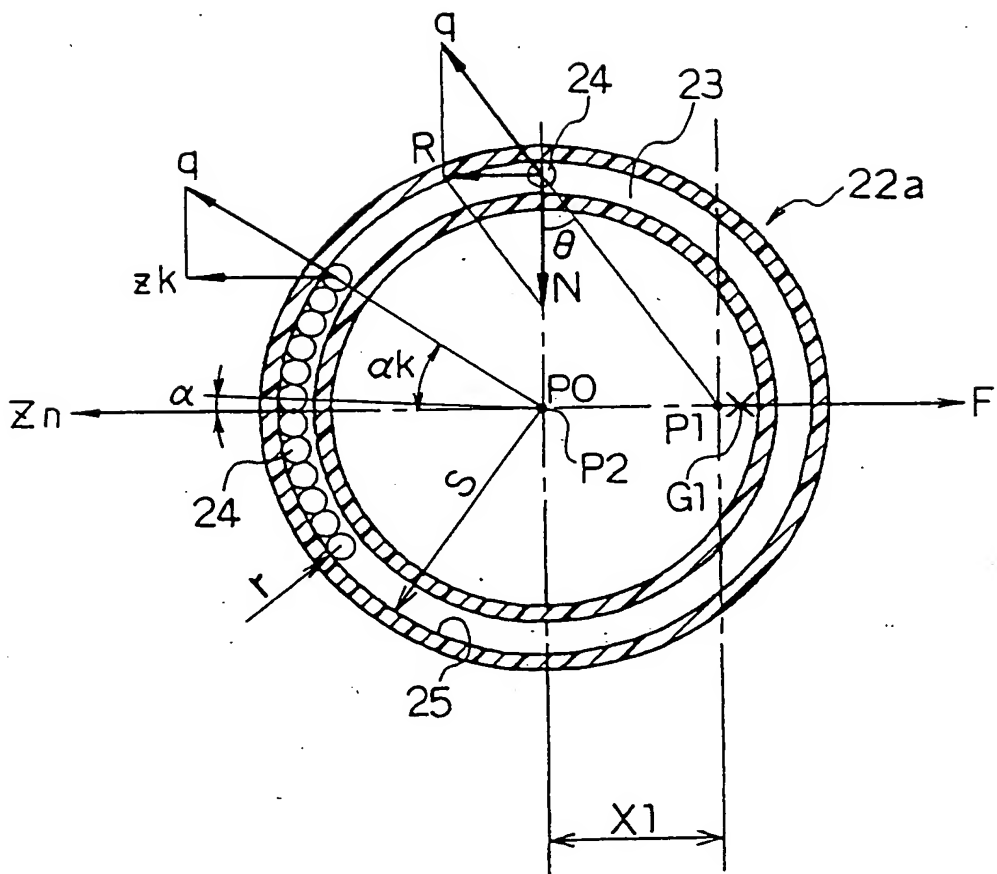


2/64

FIG. 2



3/64

FIG. 3

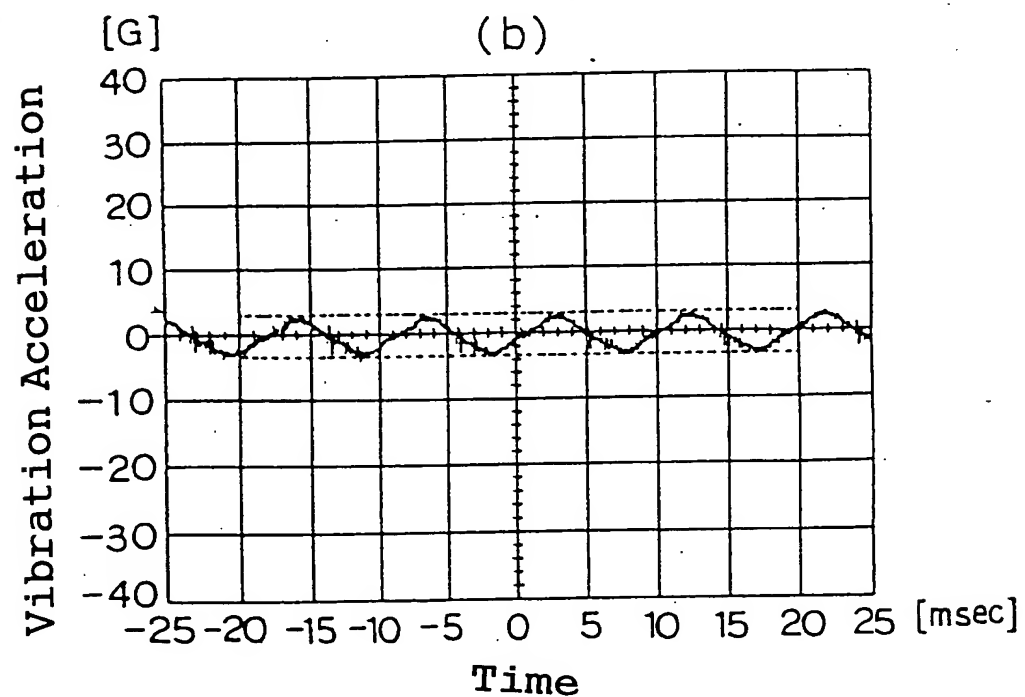
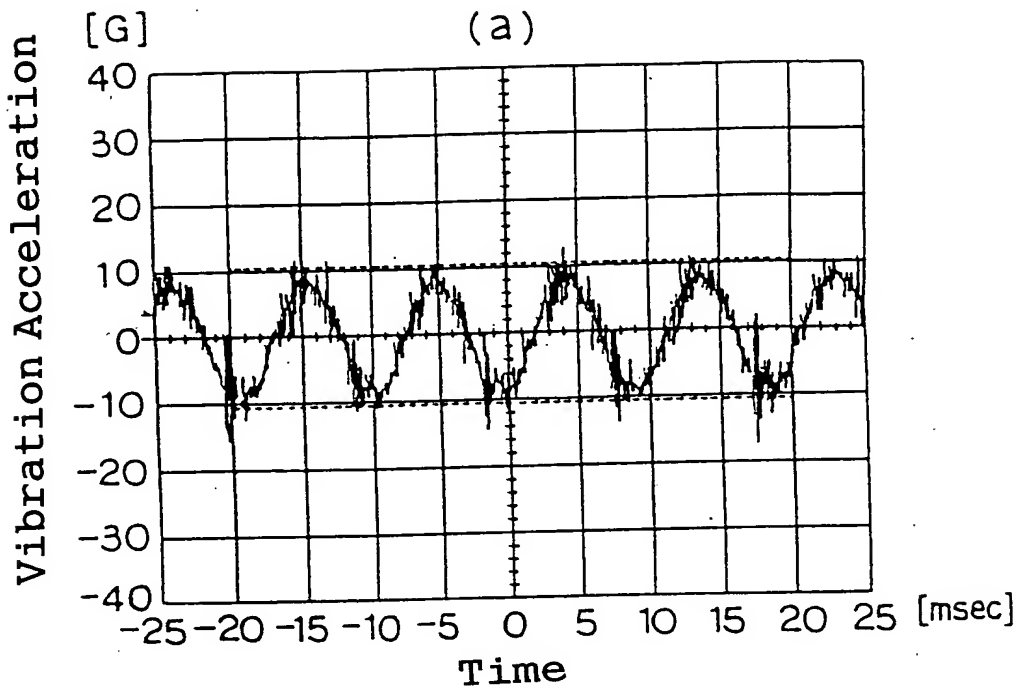


FIG. 4

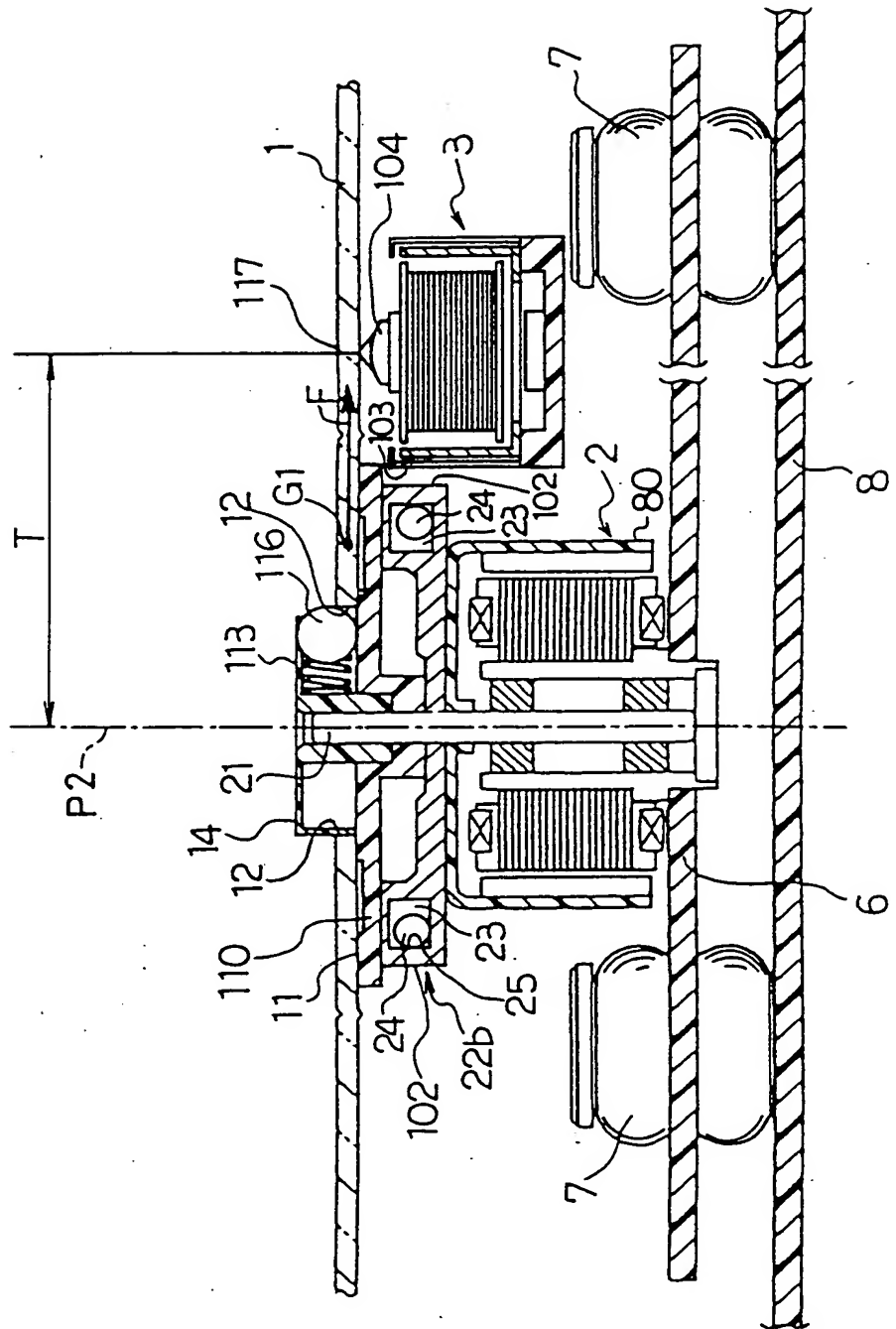


FIG. 5

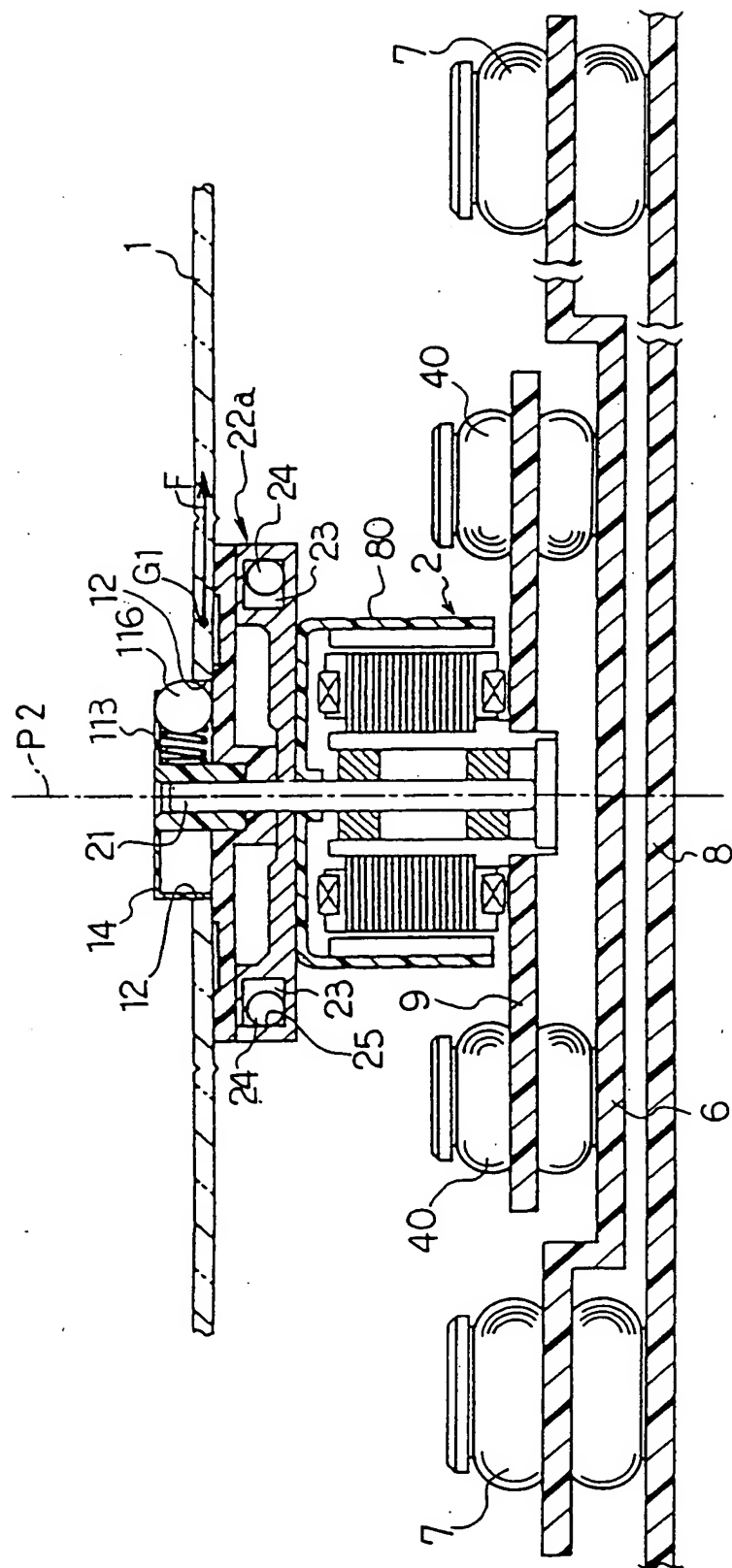
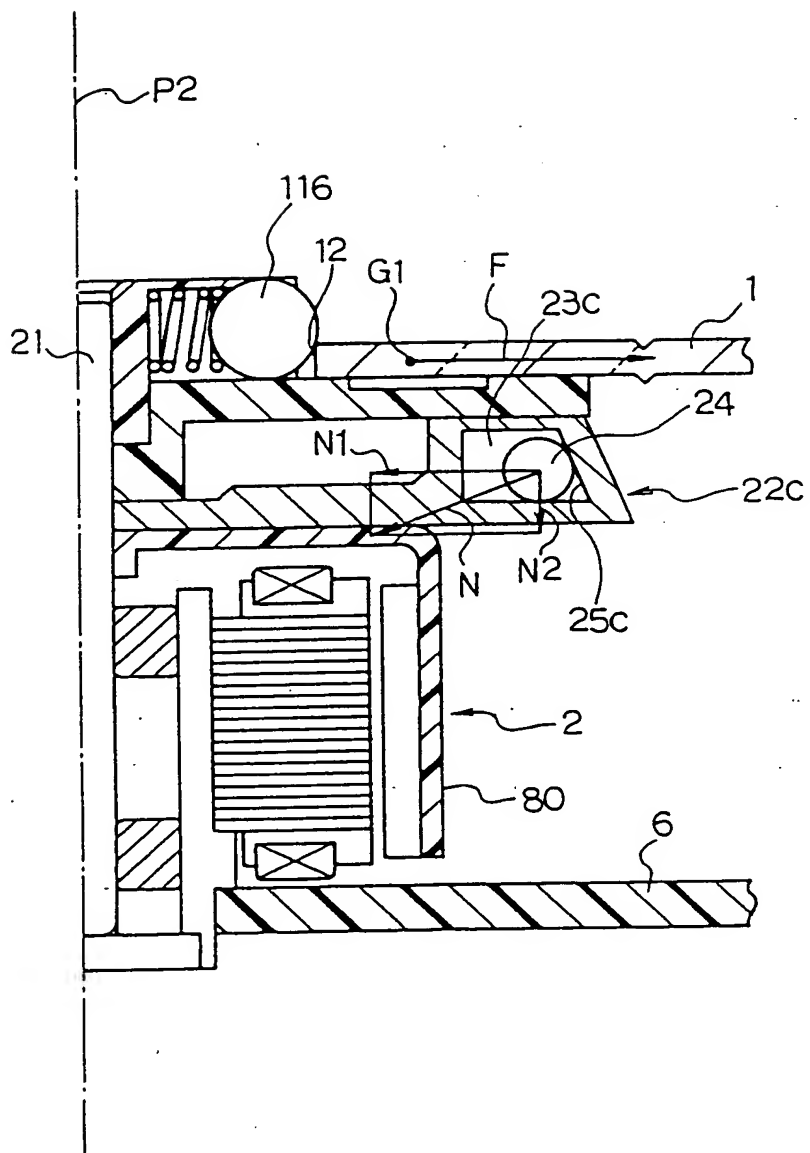
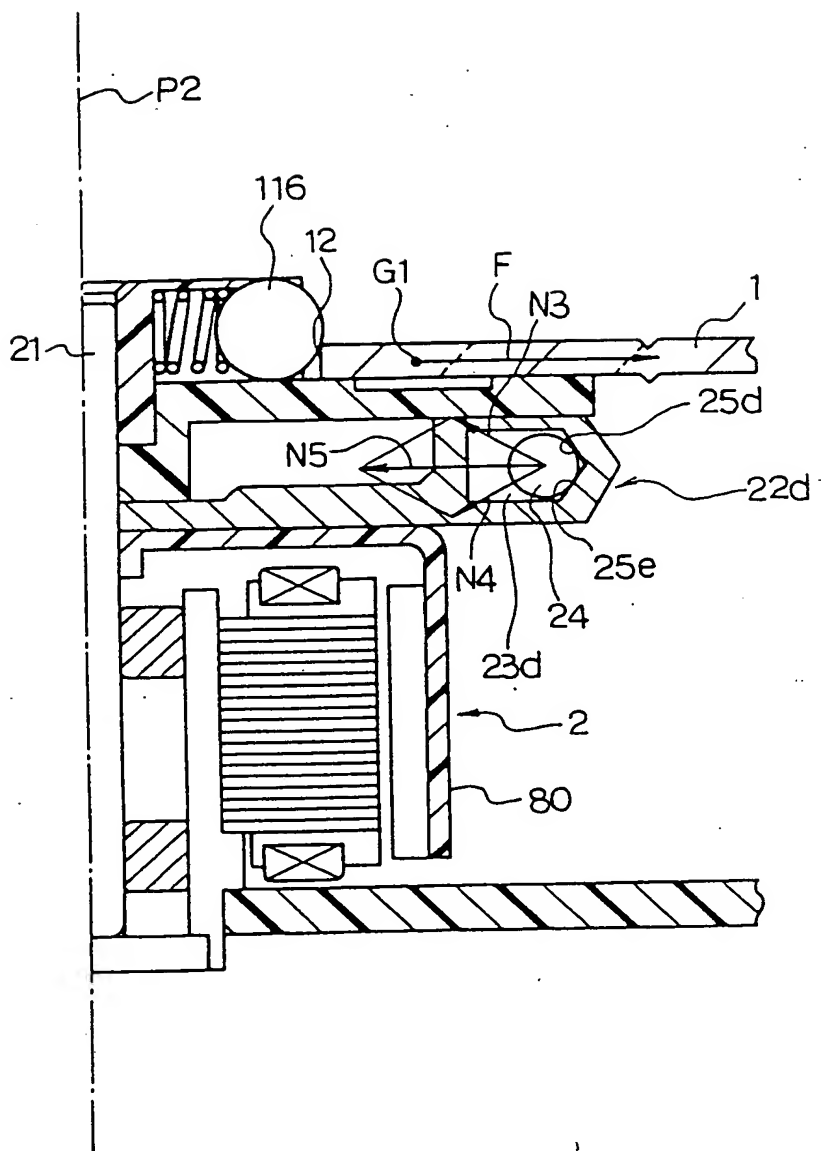


FIG. 6



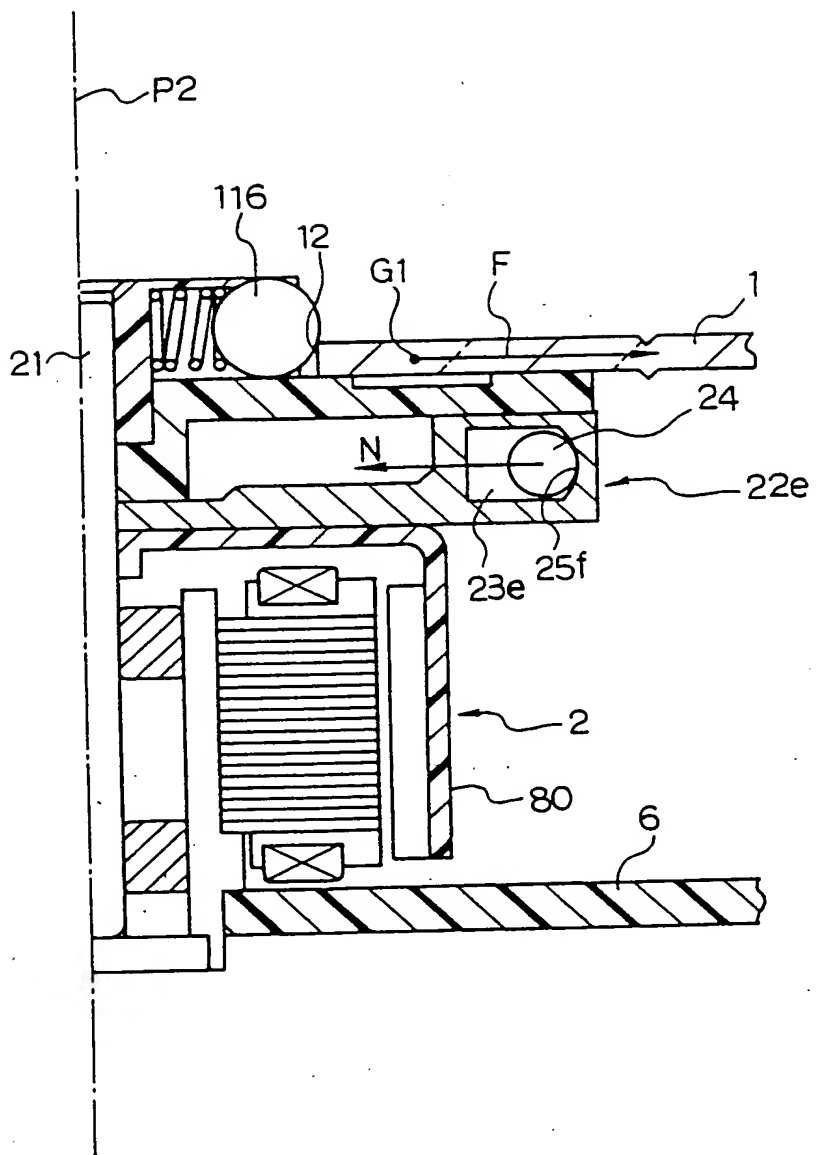
7/64

FIG. 7



8/64

FIG. 8



9/64

FIG. 9

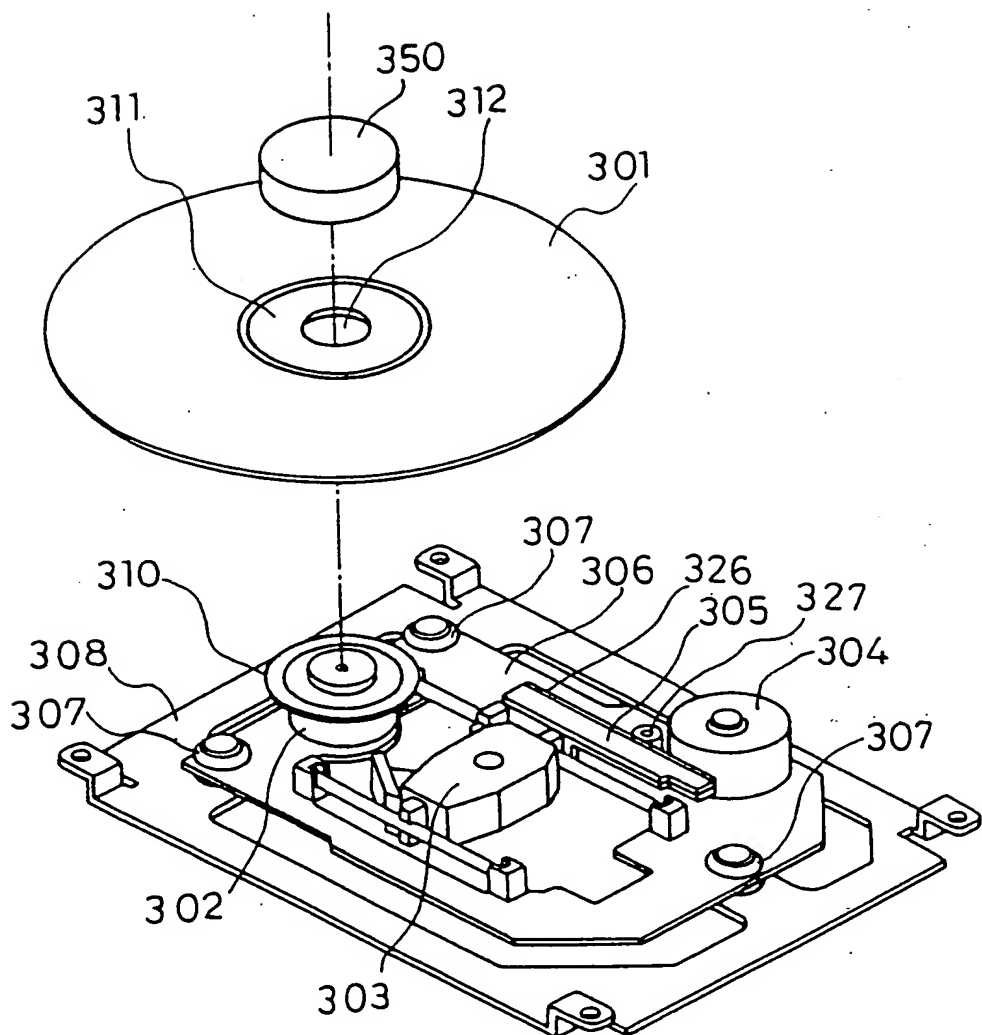
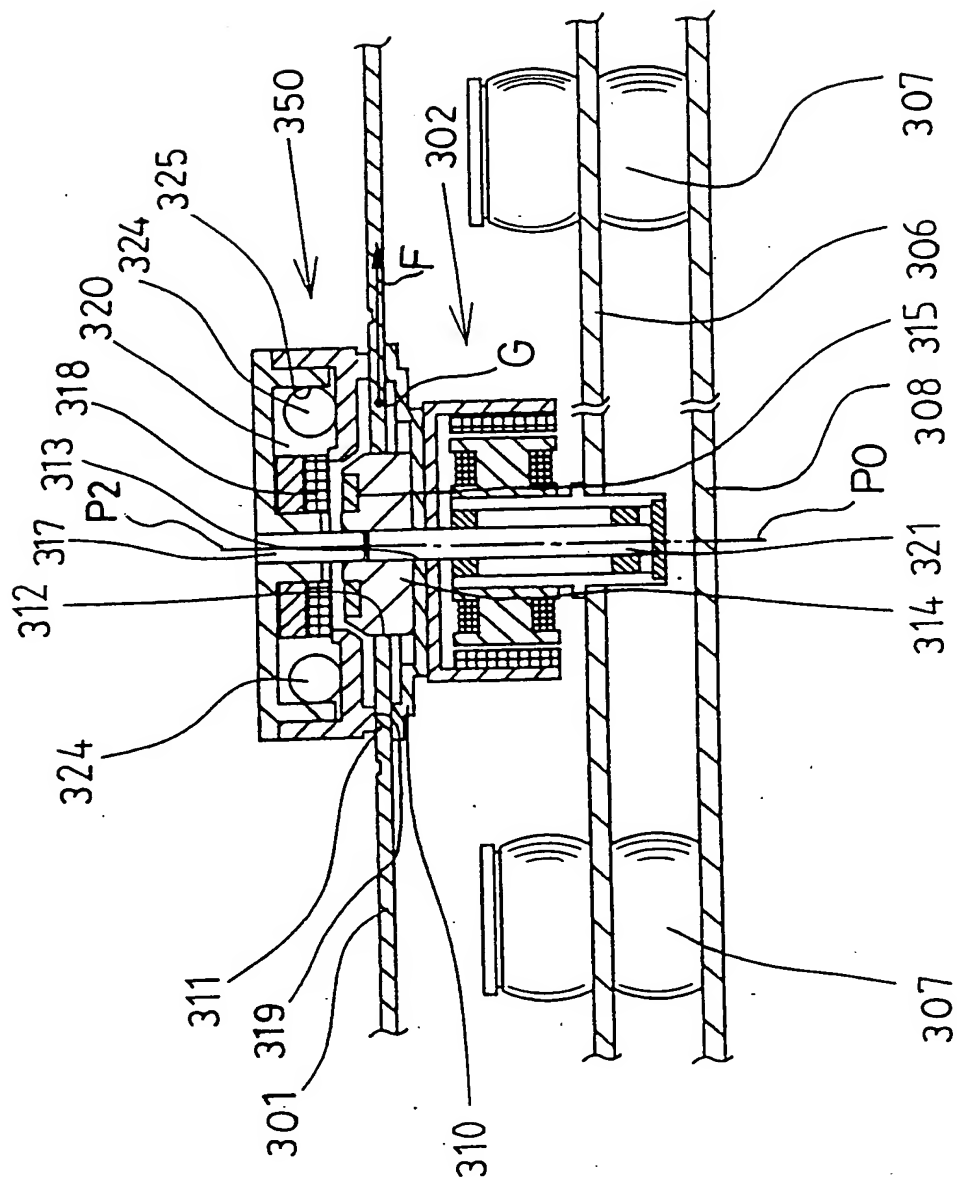
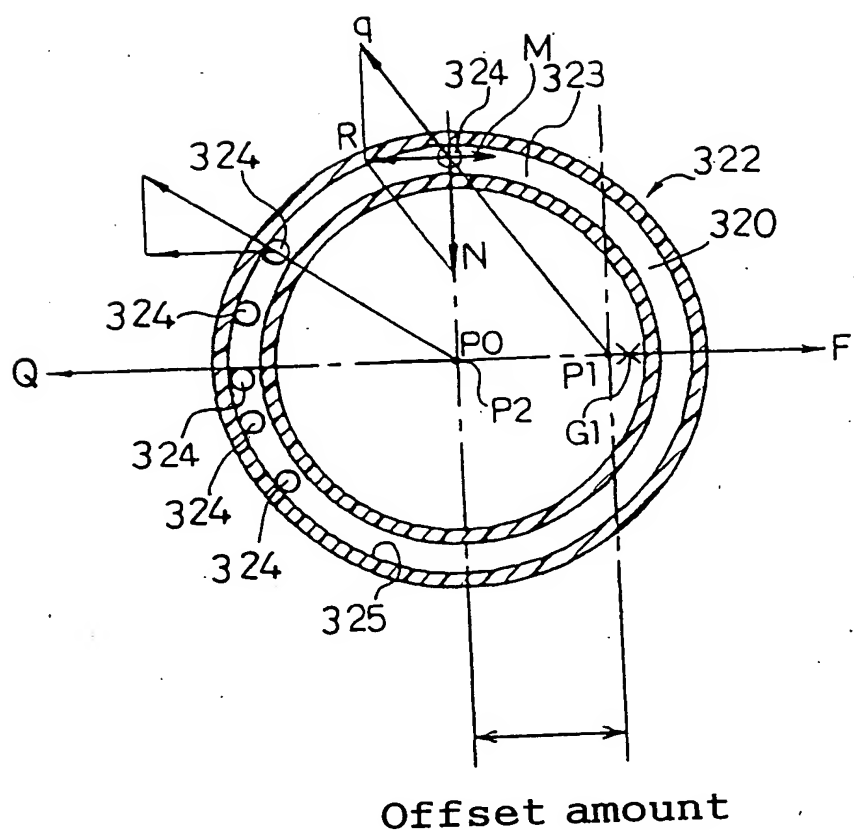


FIG. 10



11/64

FIG. 11



12/64

FIG. 12

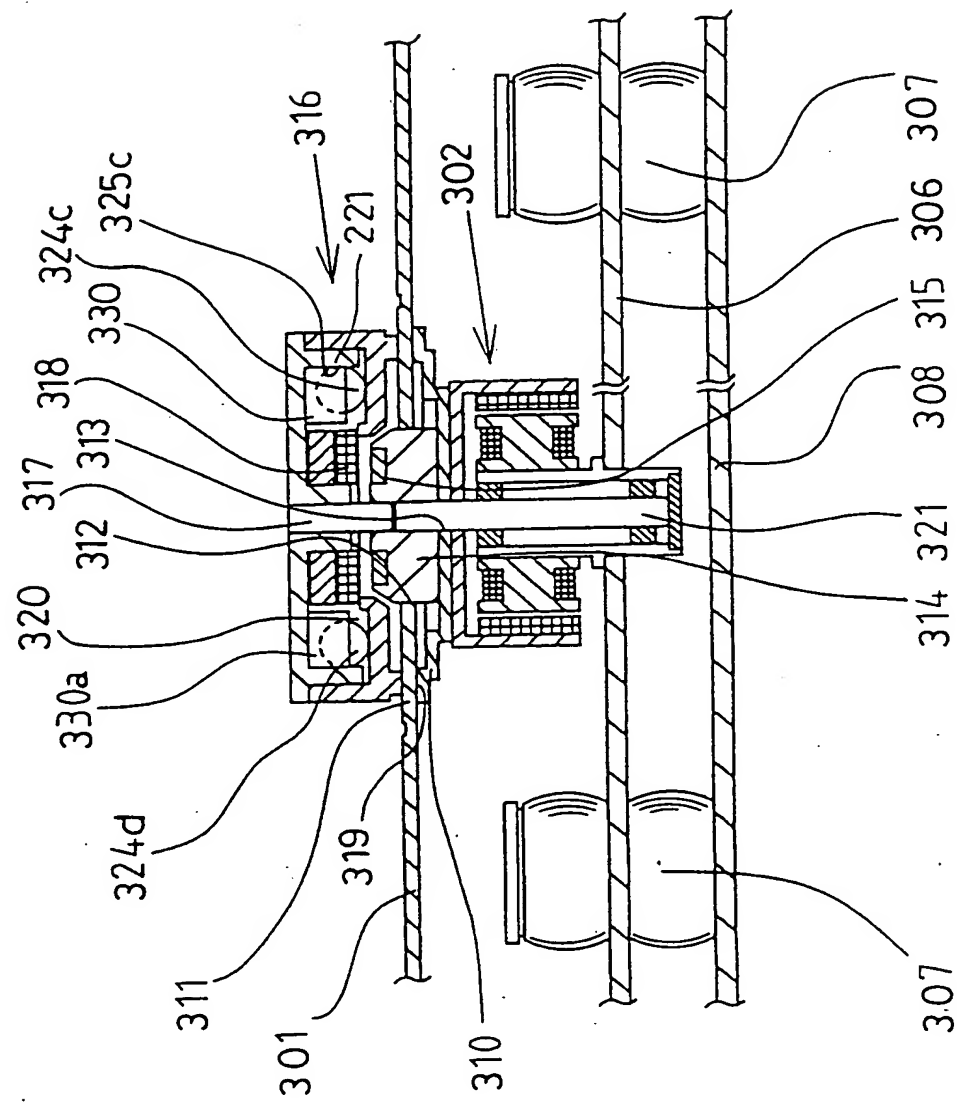


FIG. 13

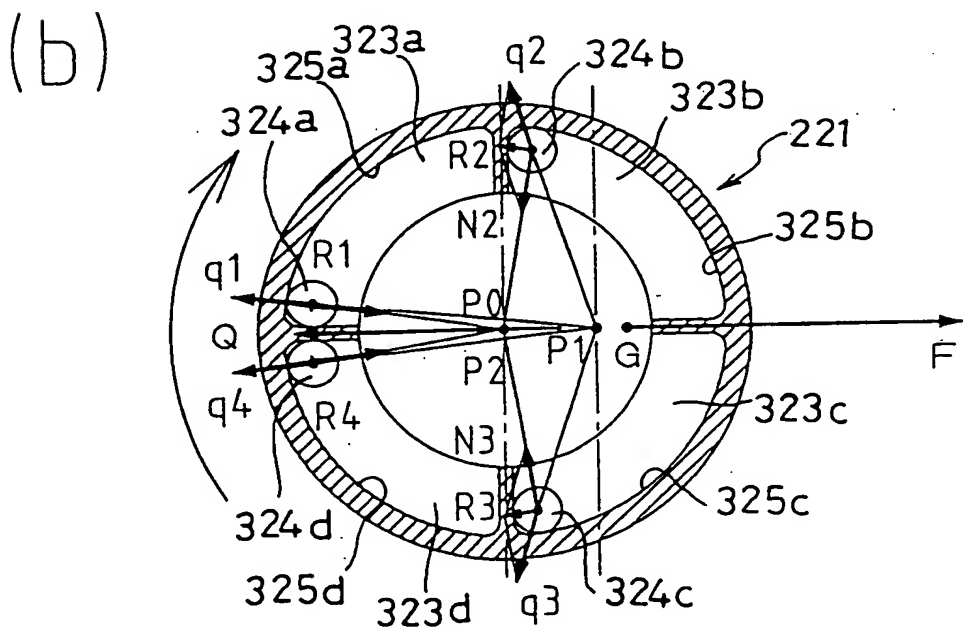
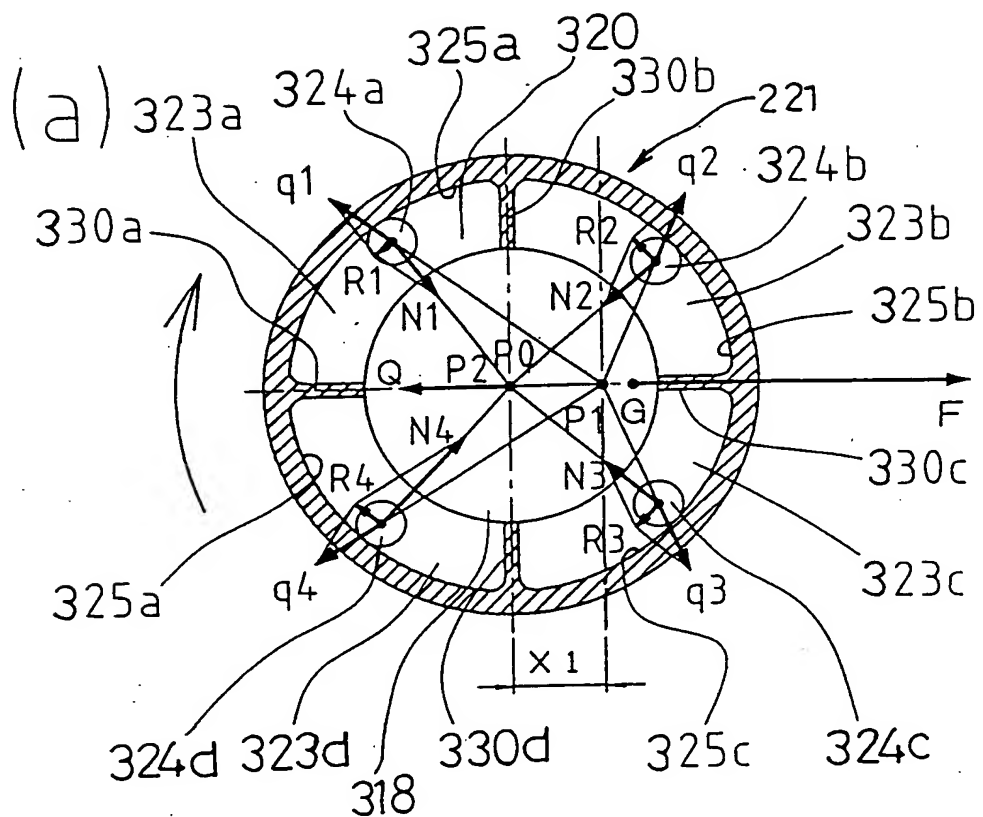


FIG. 14

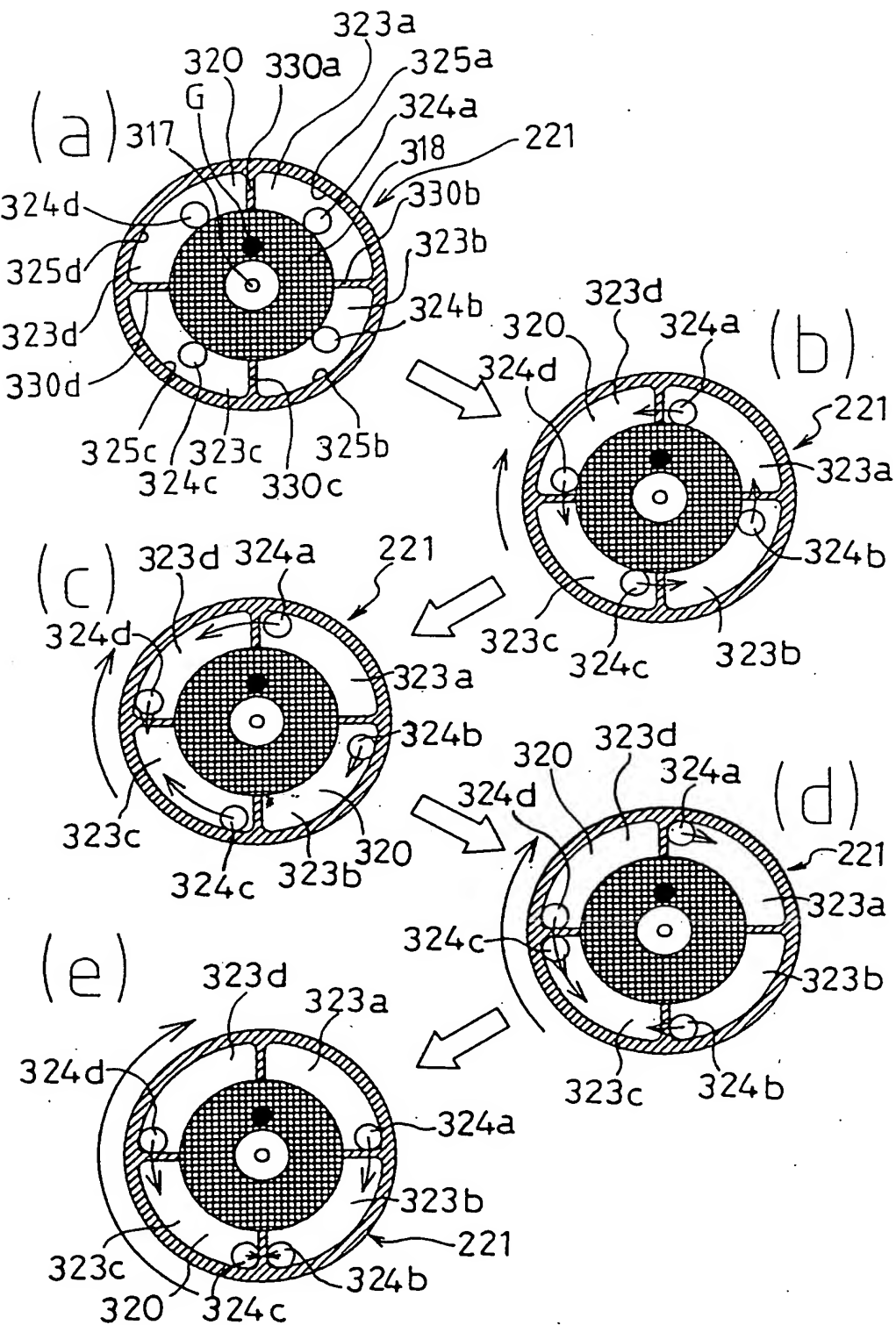
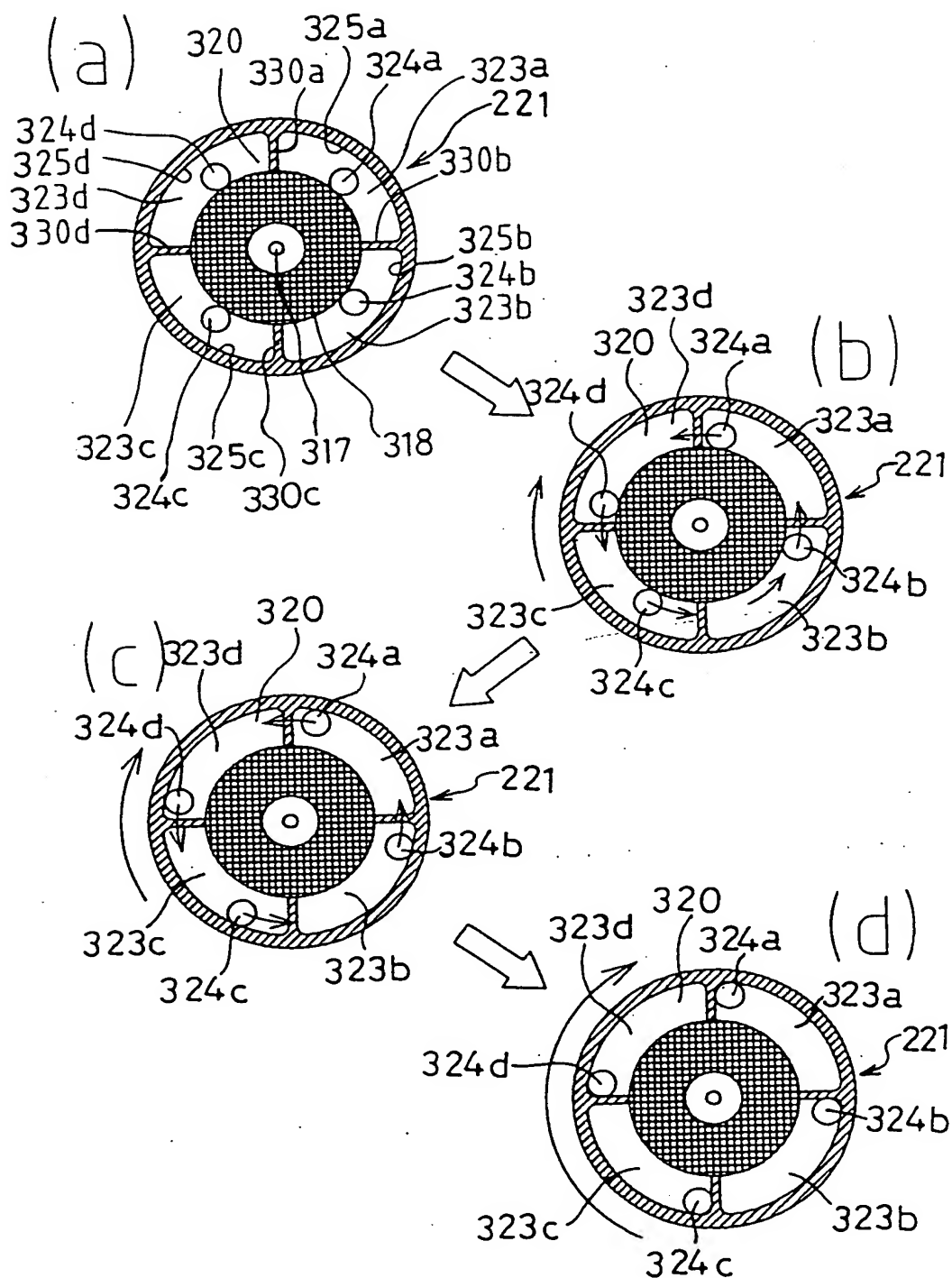


FIG. 15



16/64

FIG. 16

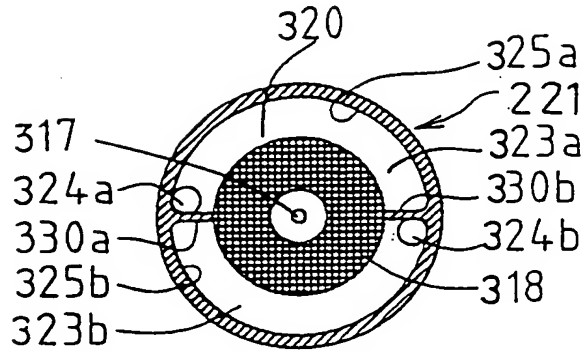


FIG. 17

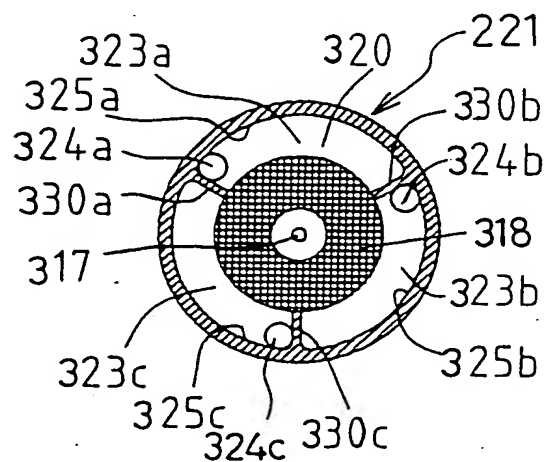
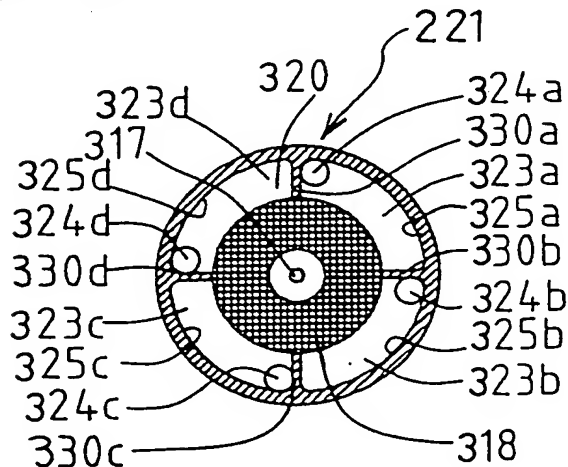


FIG. 18



17/64

FIG. 19

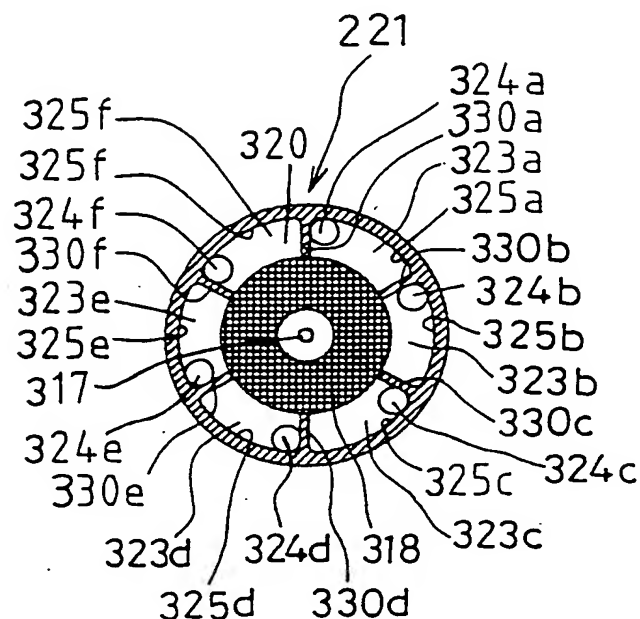
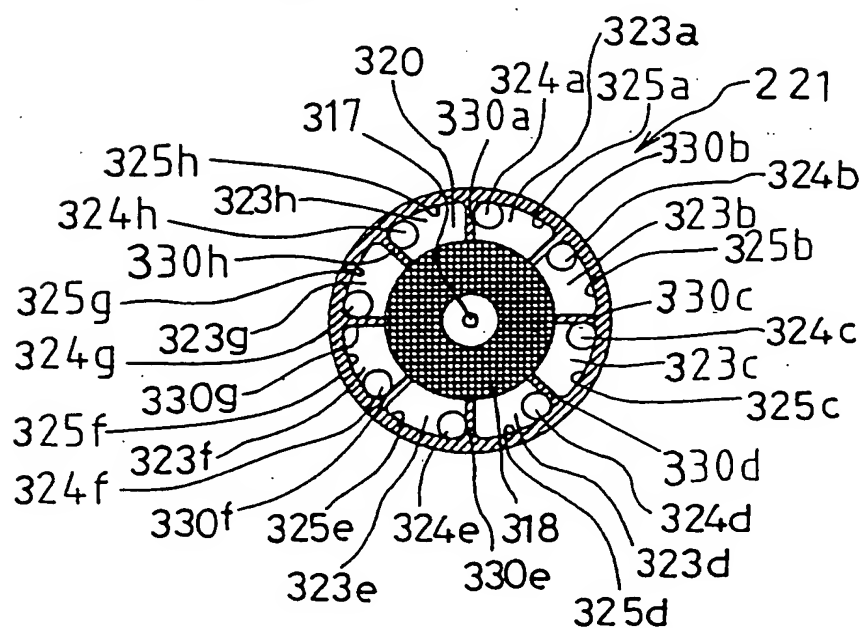


FIG. 20



18/64

FIG. 21

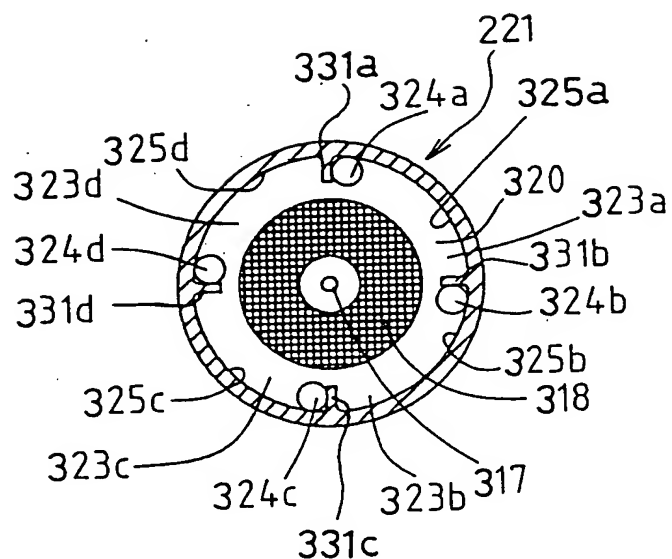
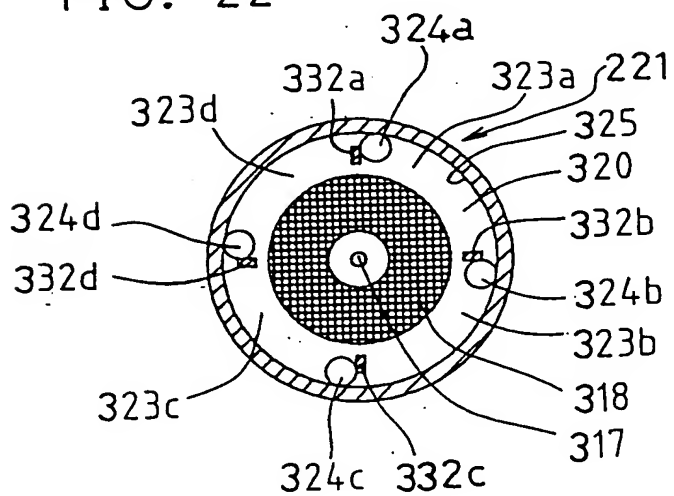
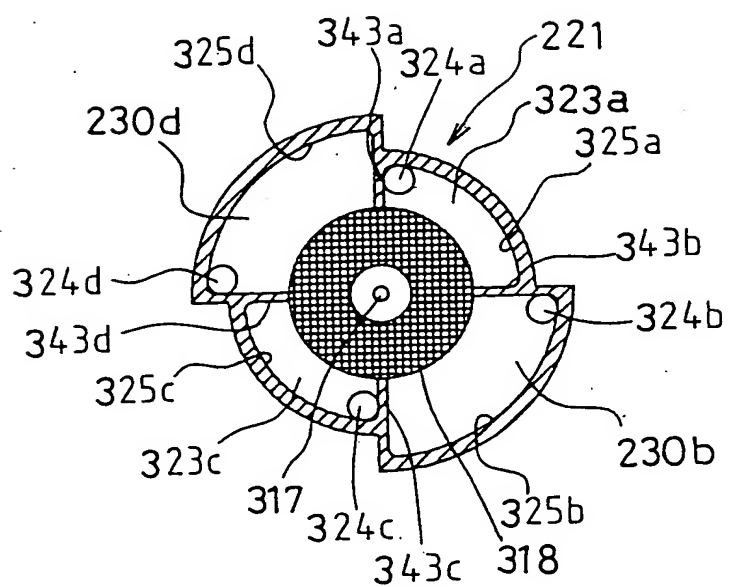


FIG. 22



19/64

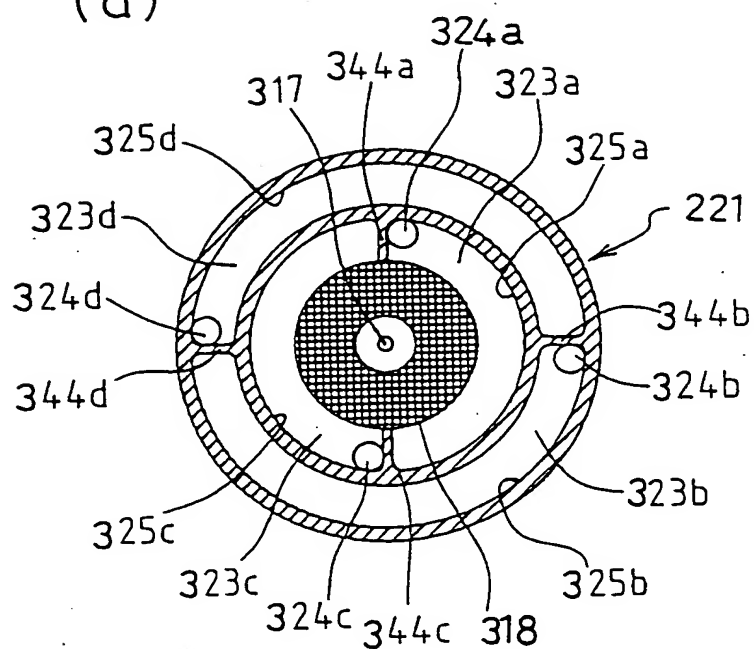
FIG. 23



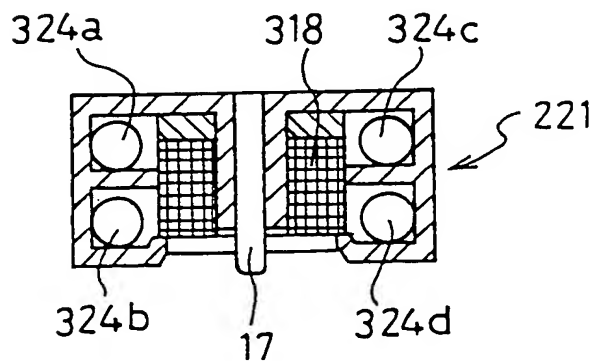
20/64

FIG. 24

(a)



(b)



21/64

FIG. 25

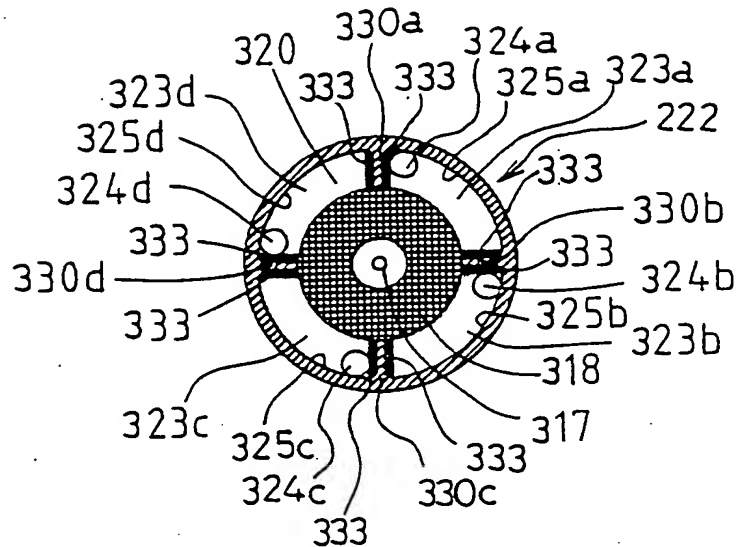


FIG. 26

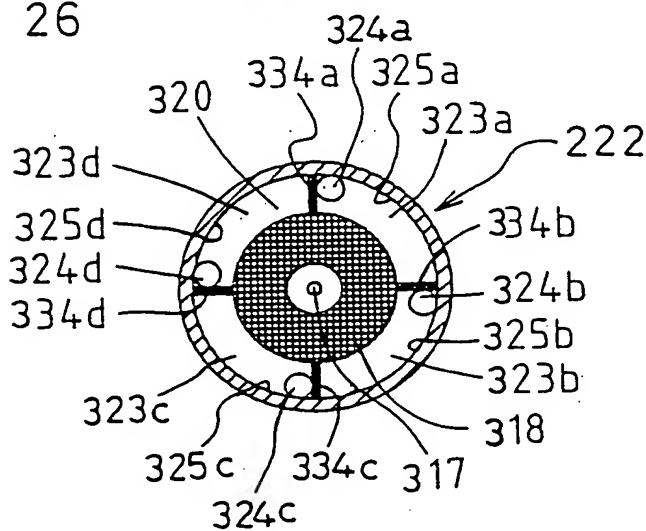
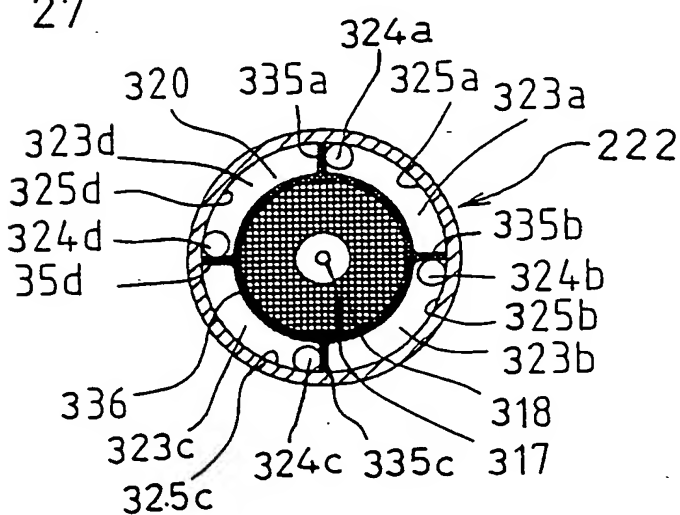
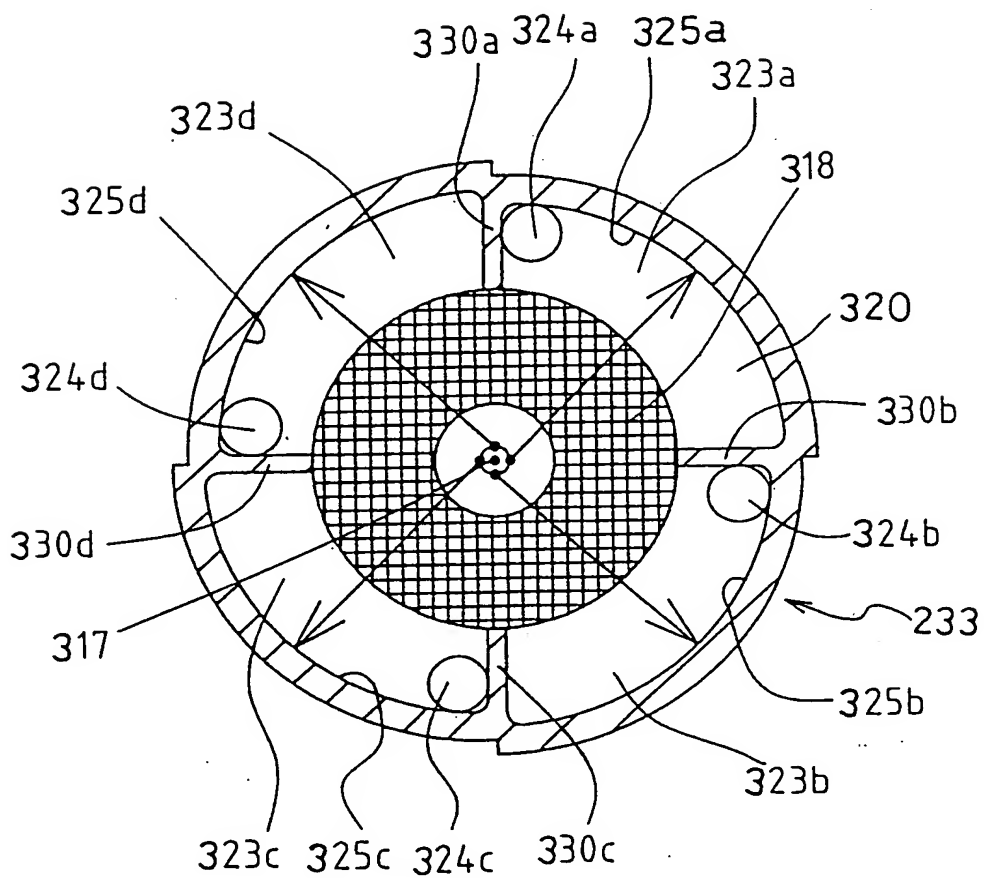


FIG. 27



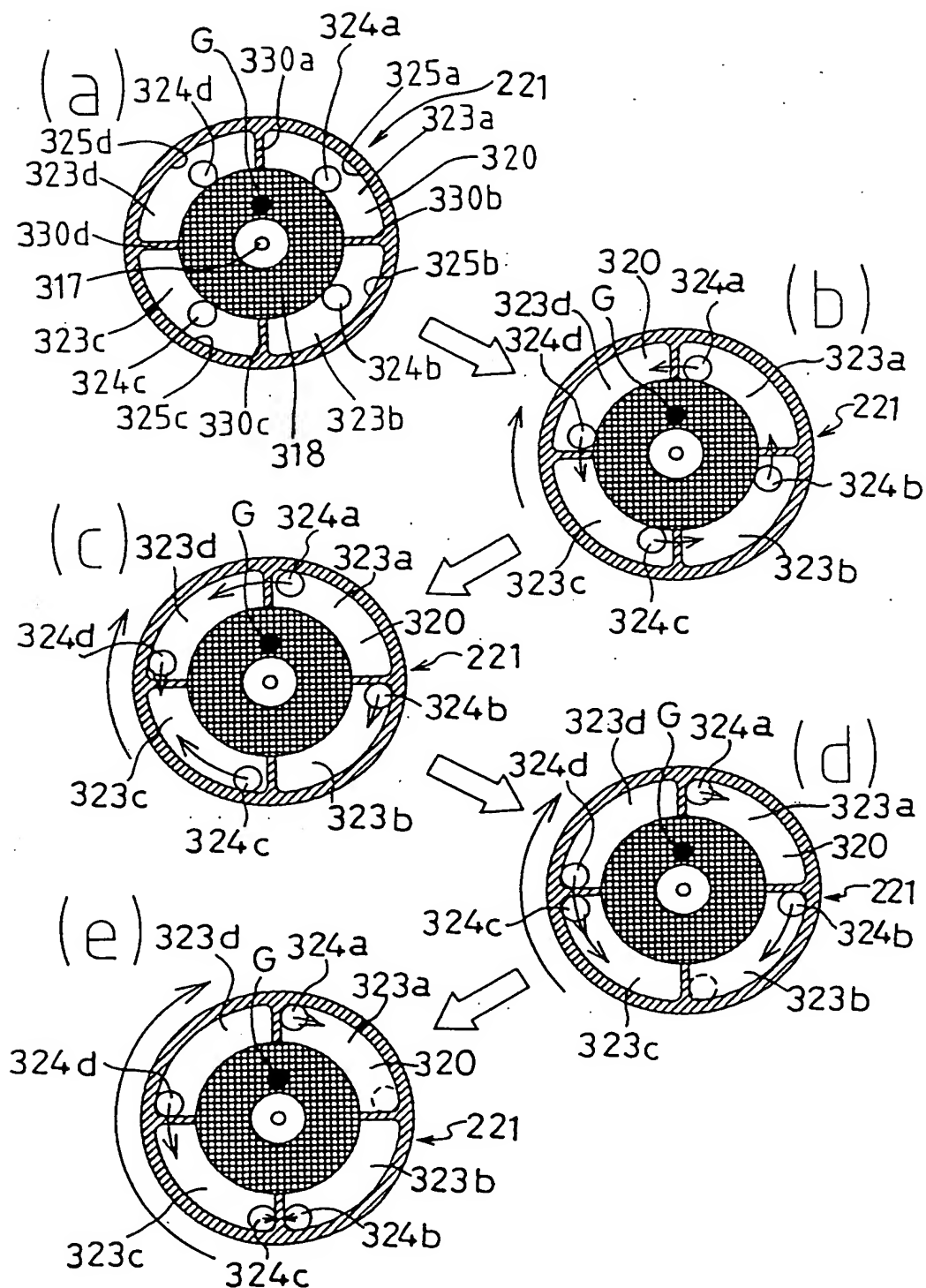
22/64

FIG. 28



23/64

FIG. 29



24/64

F I G. 30

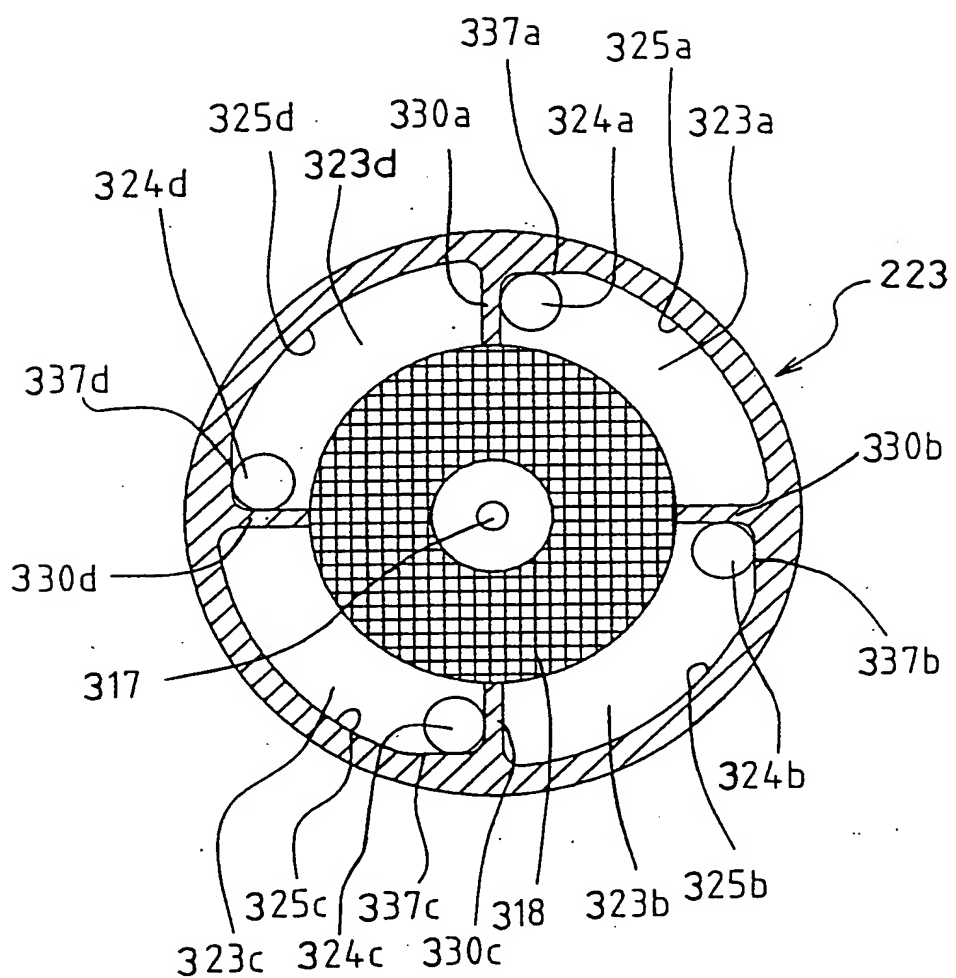


FIG. 31

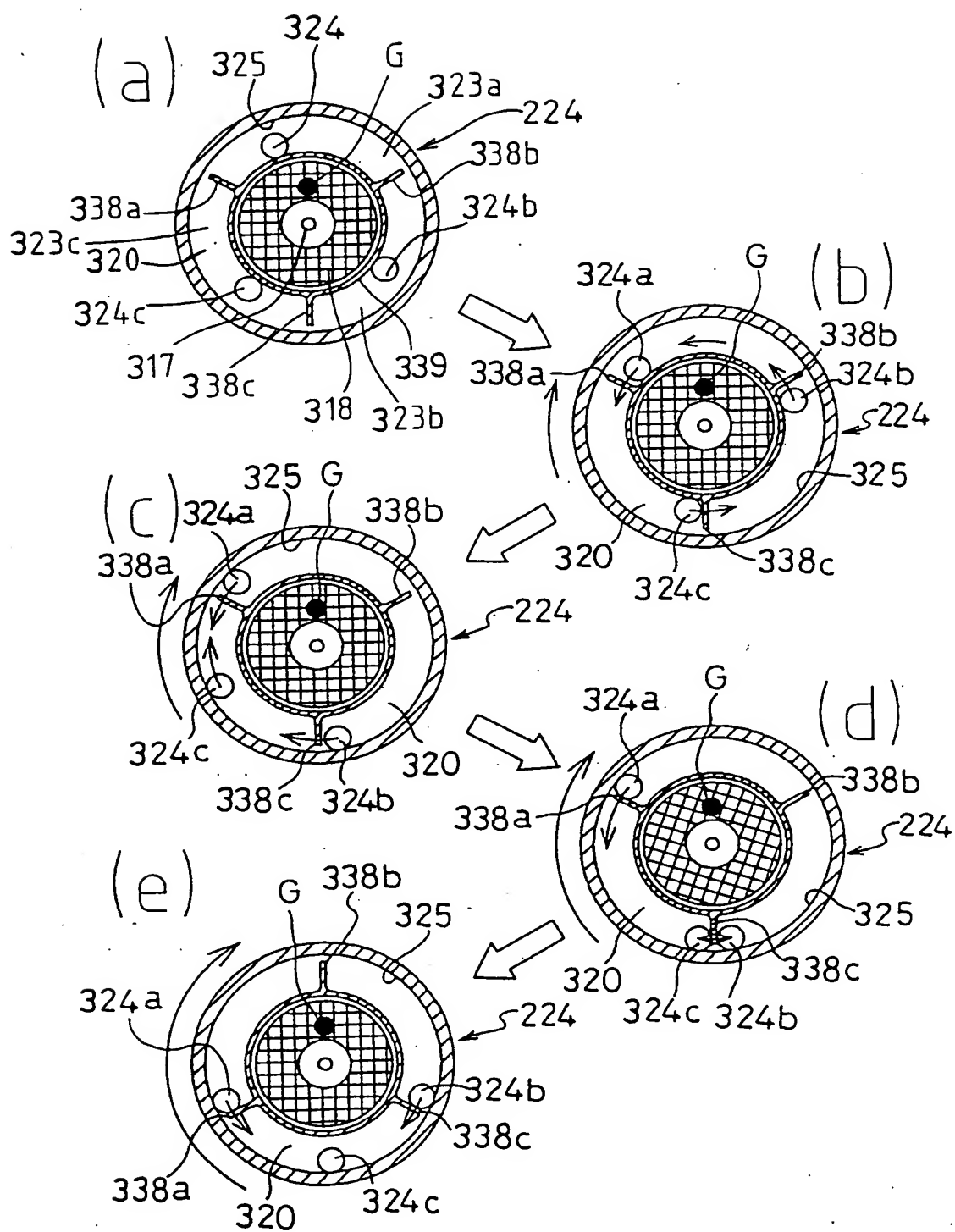
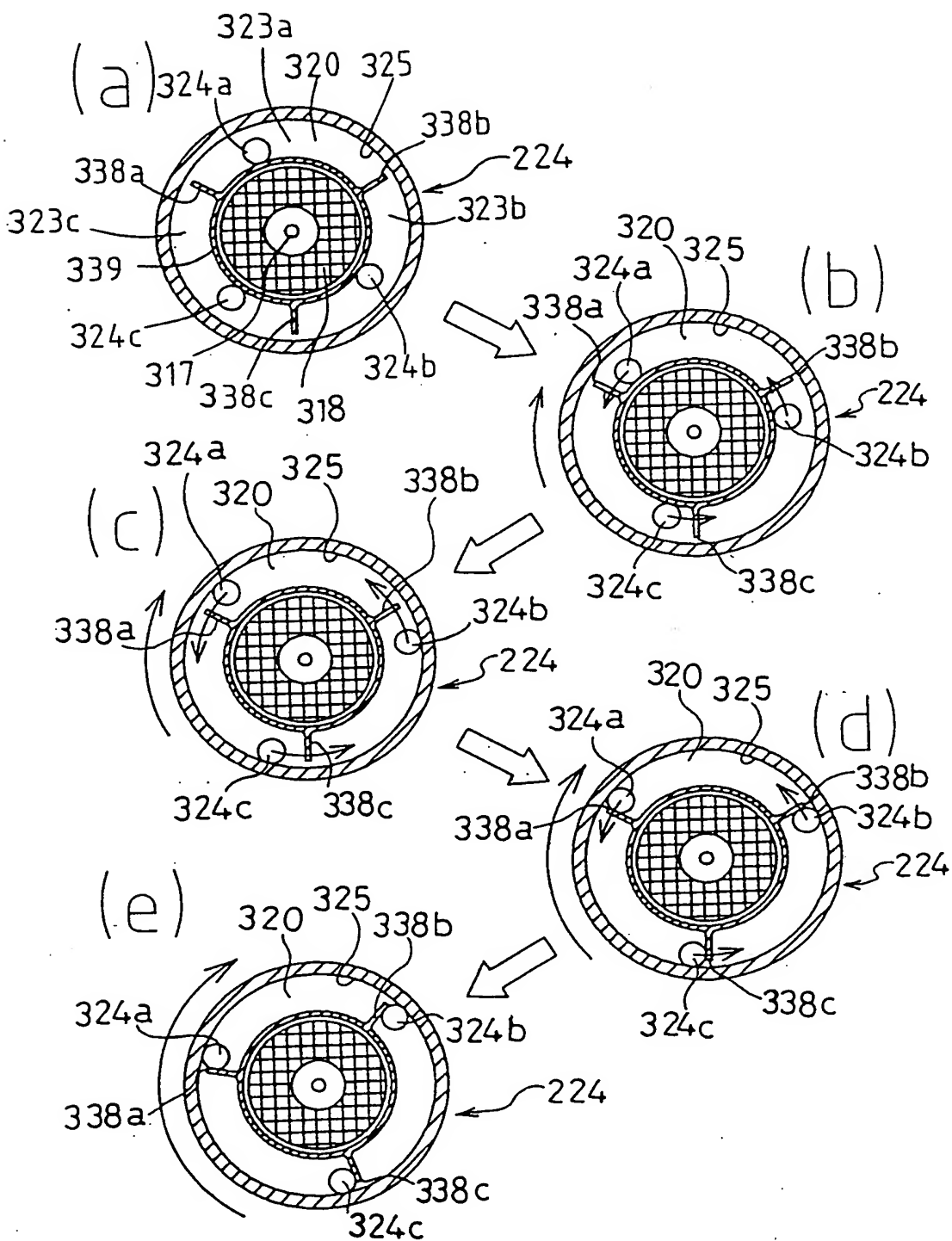


FIG. 32



27/64

FIG. 33

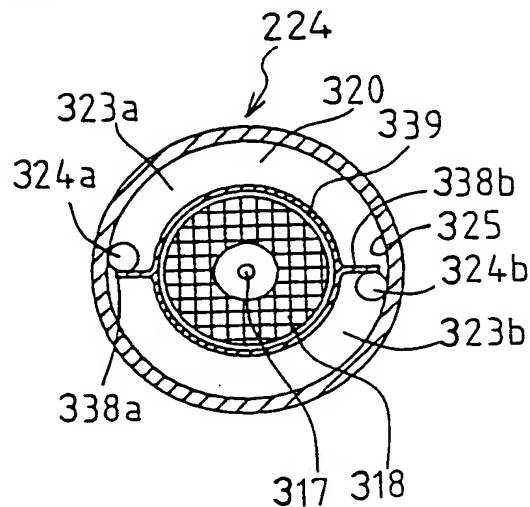


FIG. 34

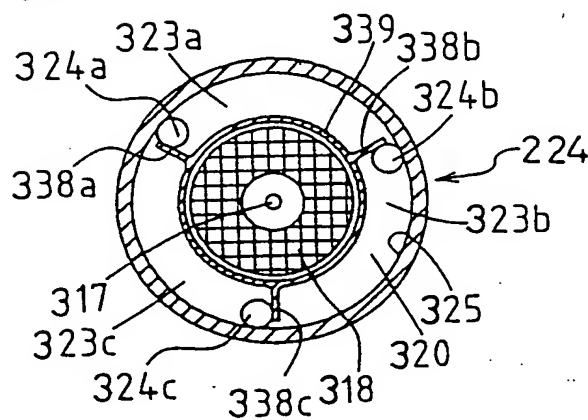
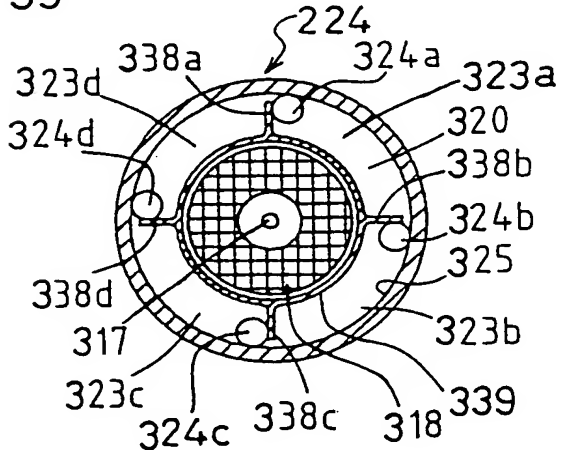


FIG. 35



28/64

FIG. 36

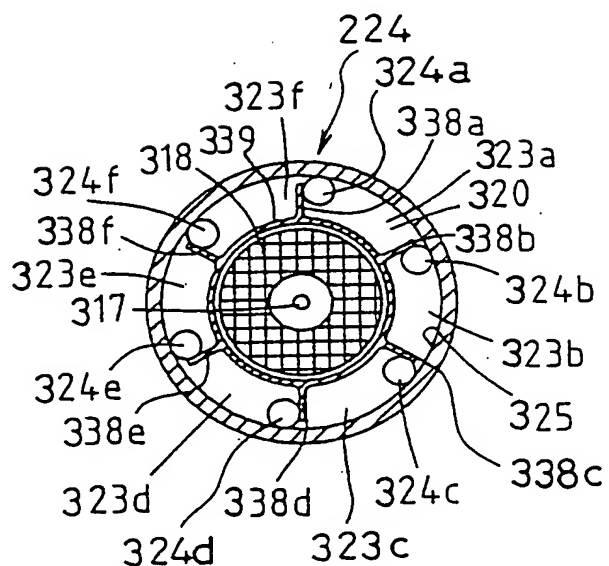


FIG. 37

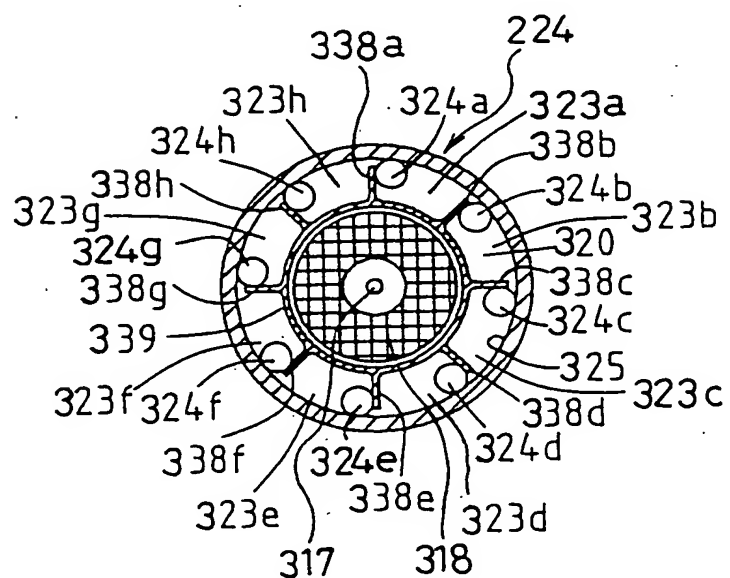
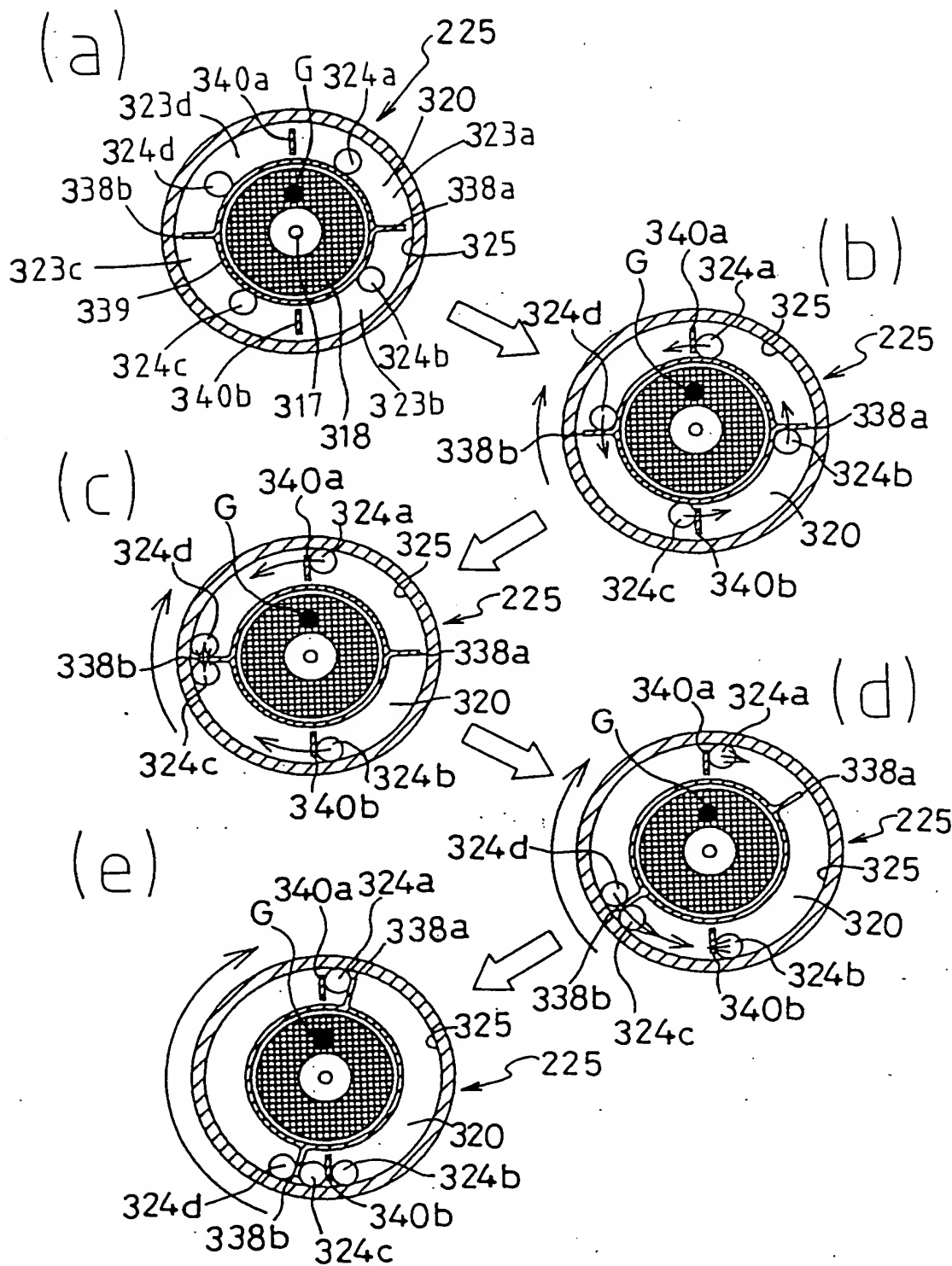
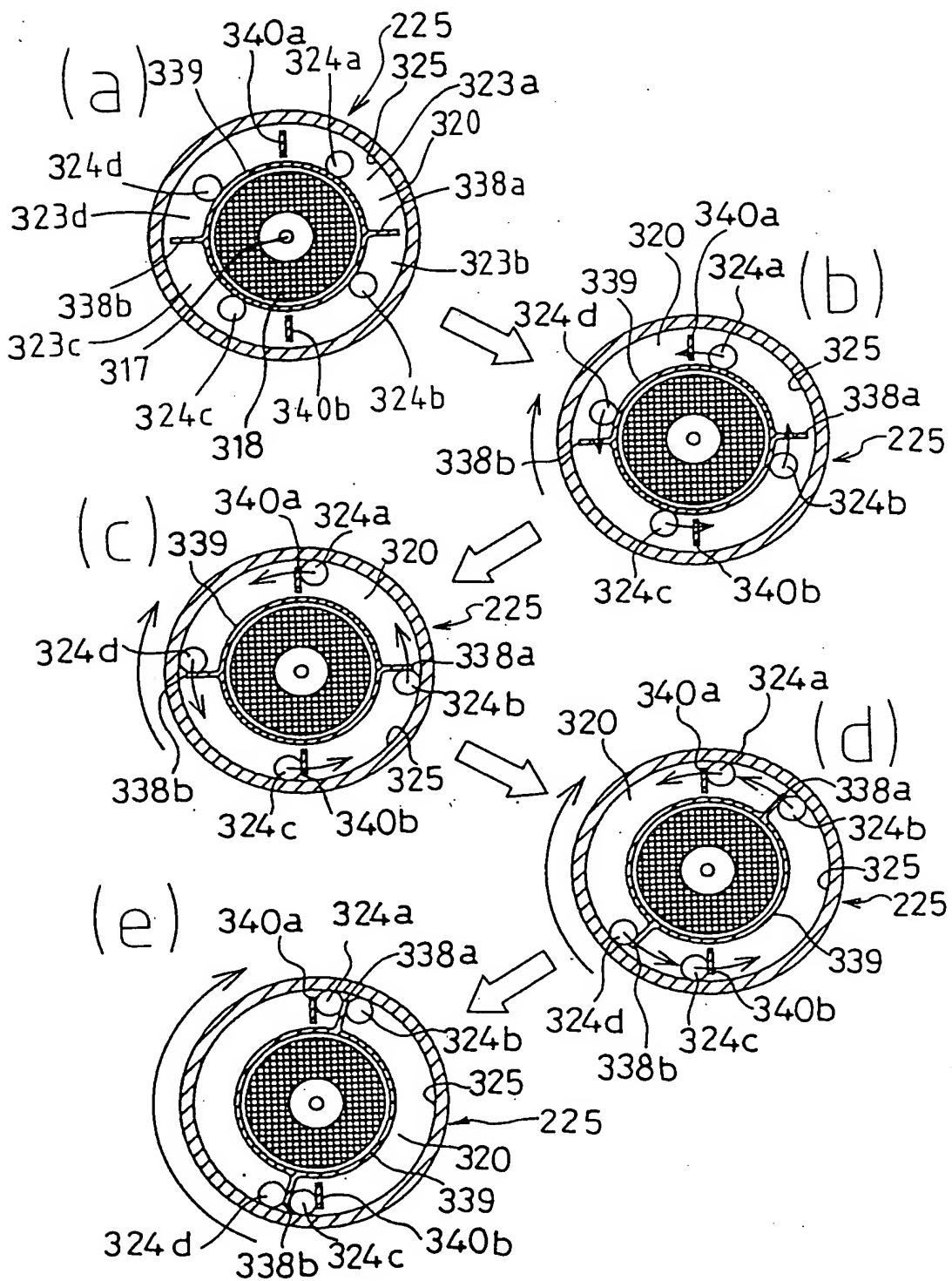


FIG. 38



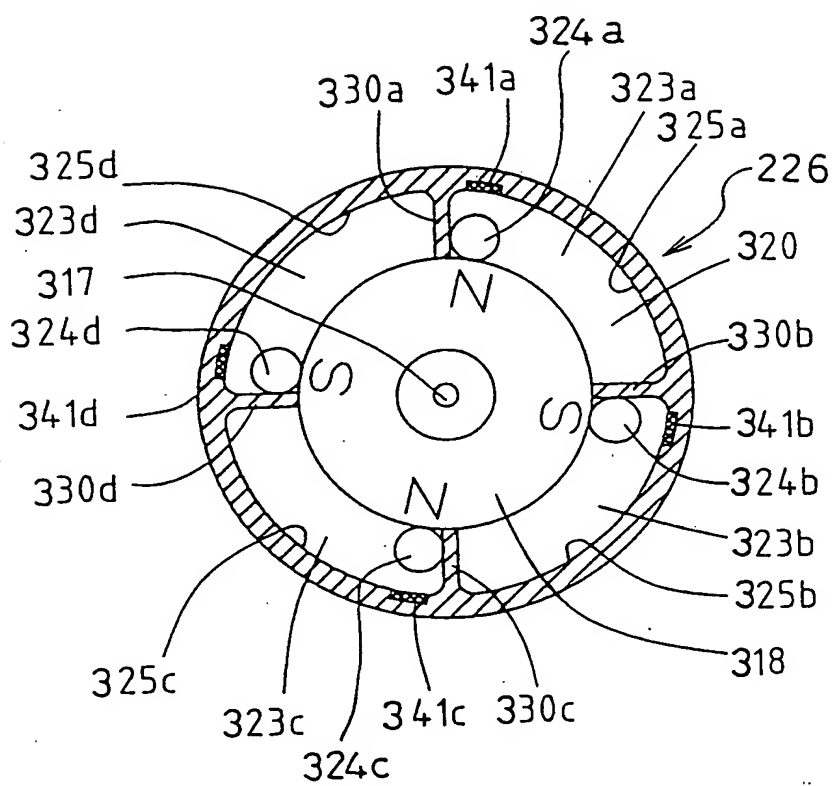
30/64

FIG. 39



31/64

FIG. 40



32/64

FIG. 41

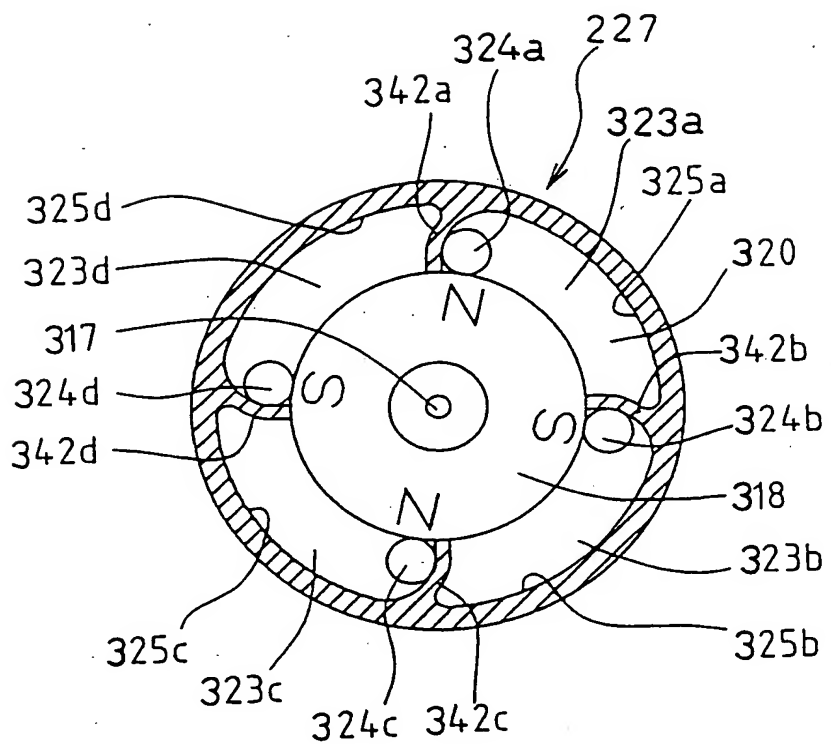
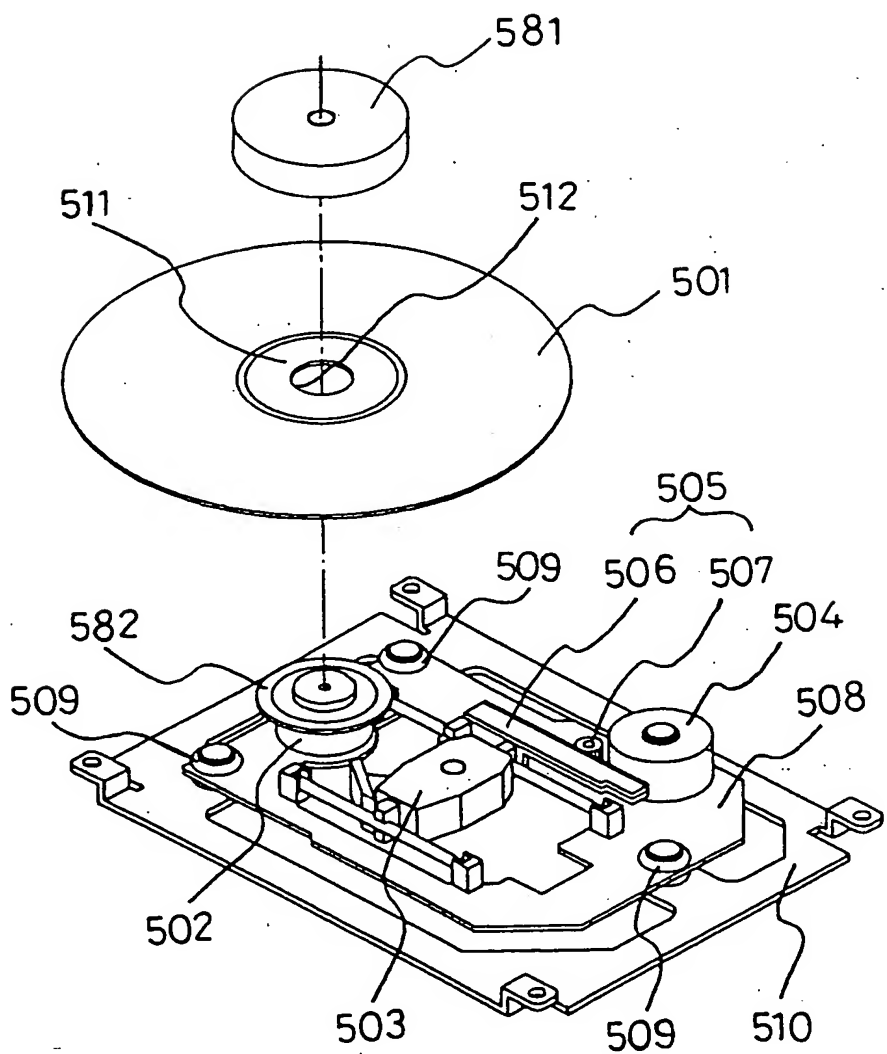


FIG. 42



34/64

FIG. 43

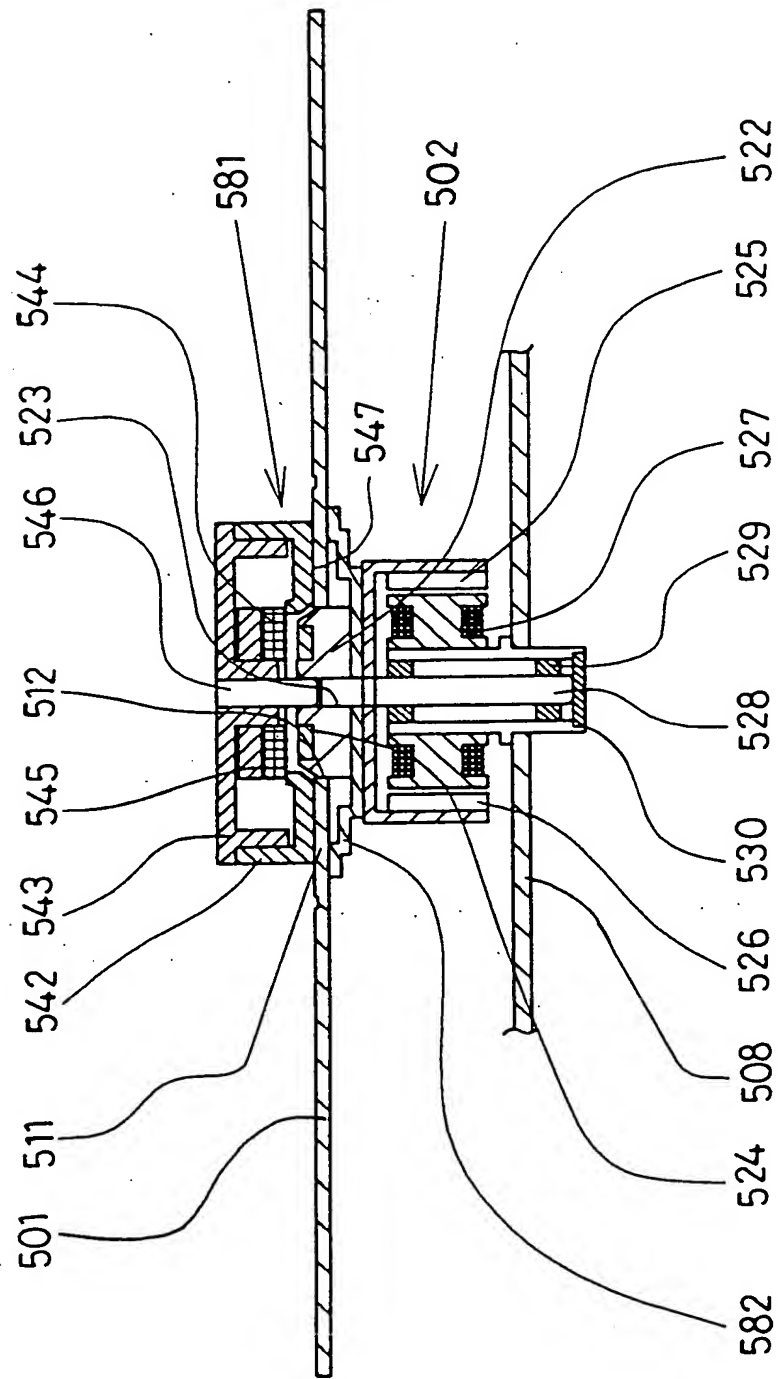


FIG. 44

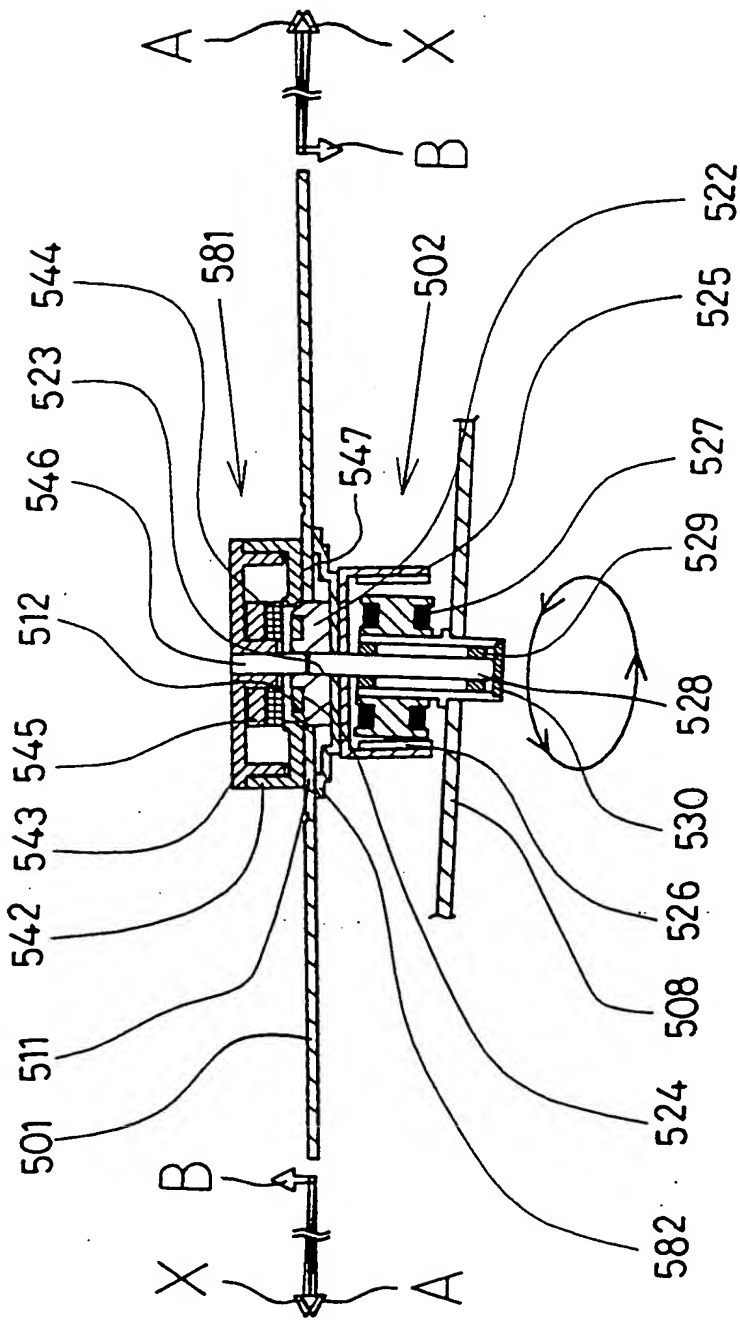
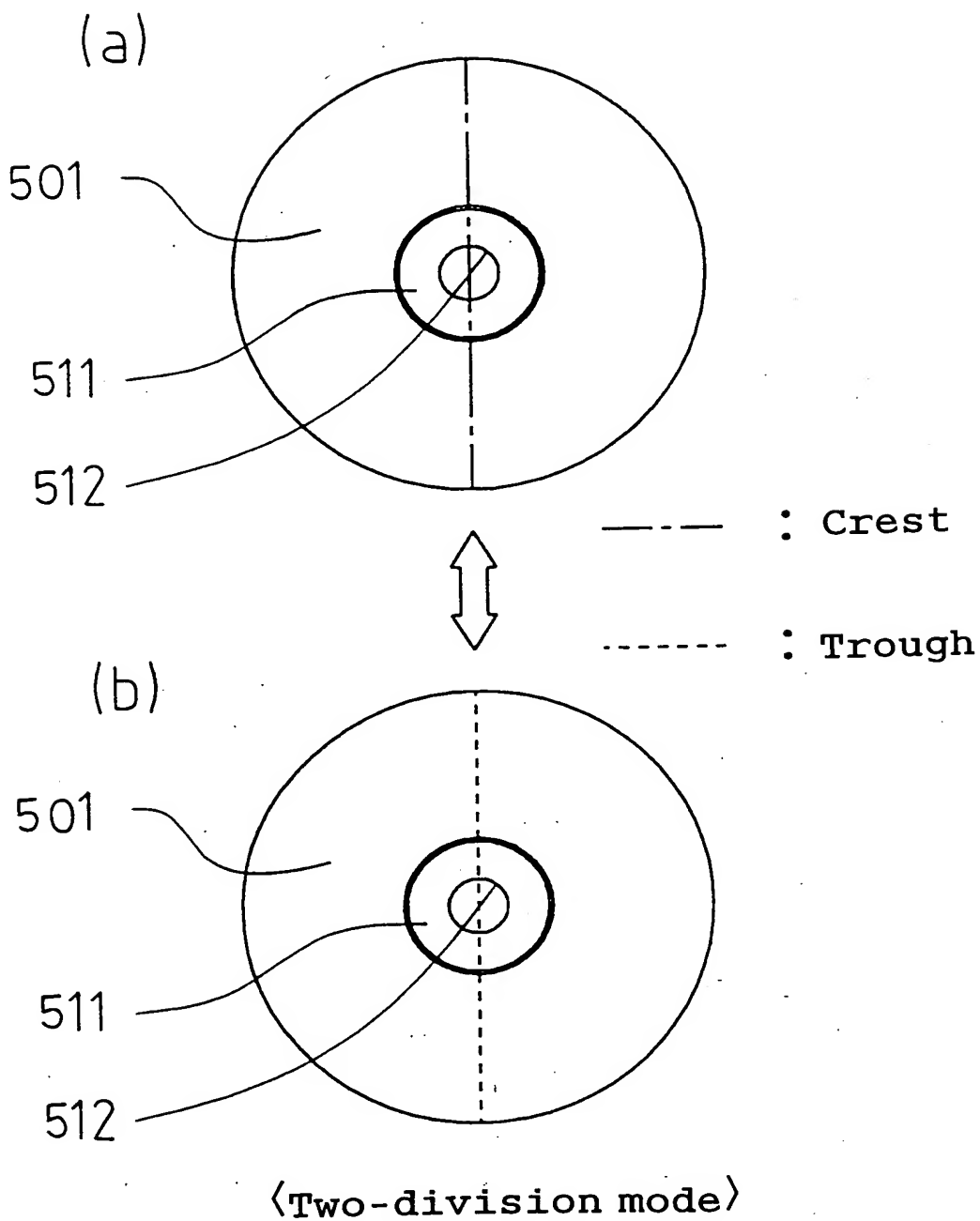


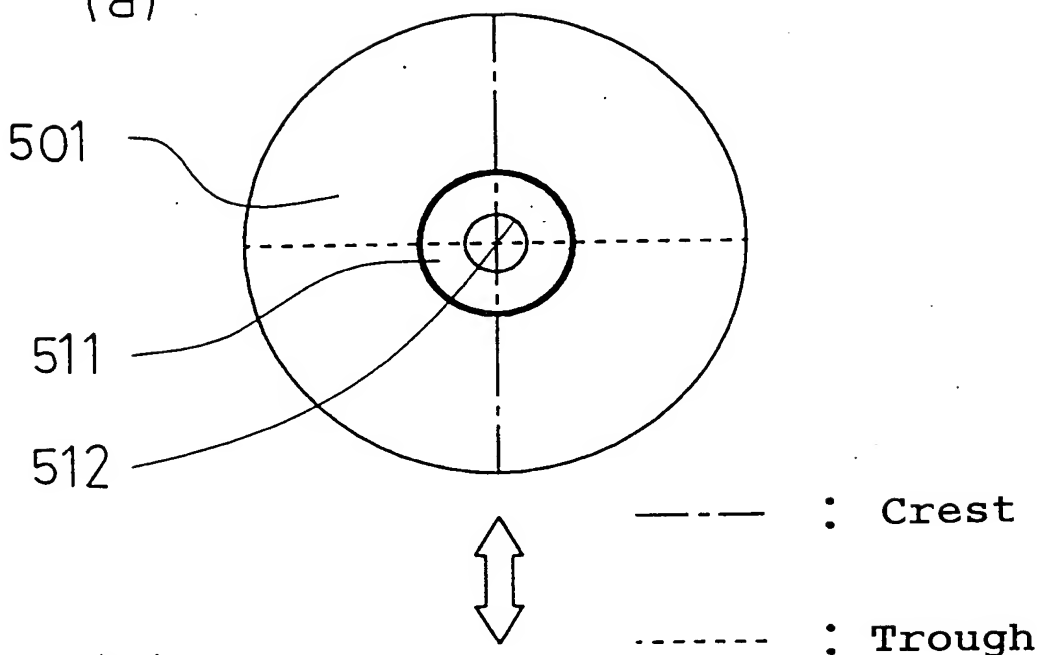
FIG. 45



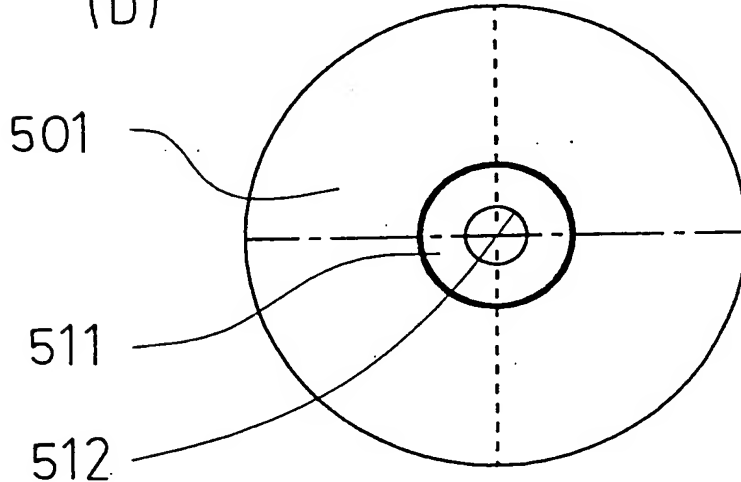
37/64

FIG. 46

(a)



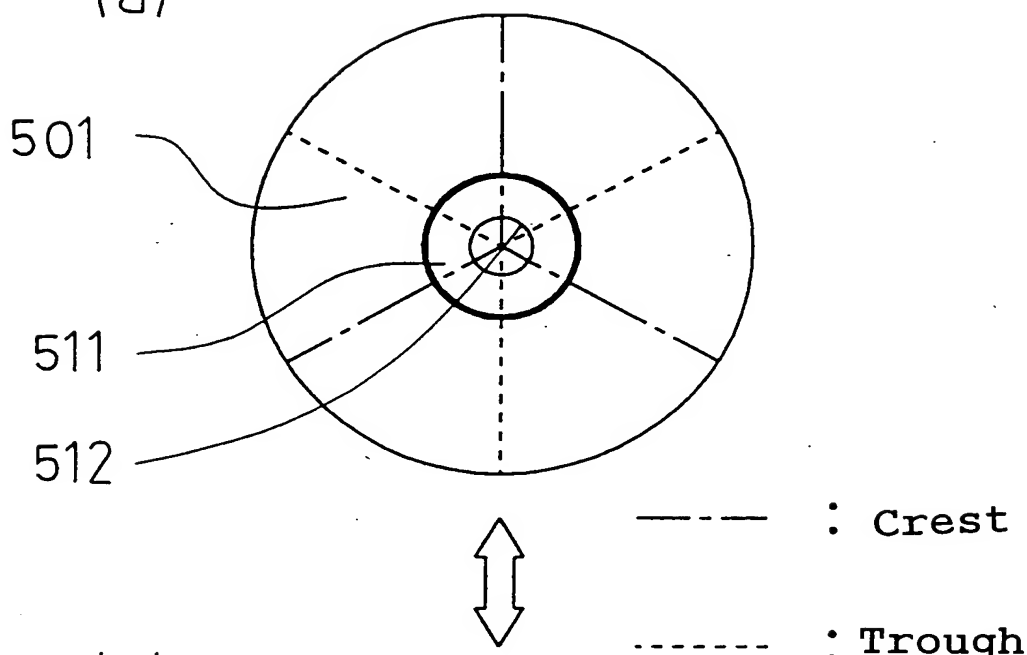
(b)



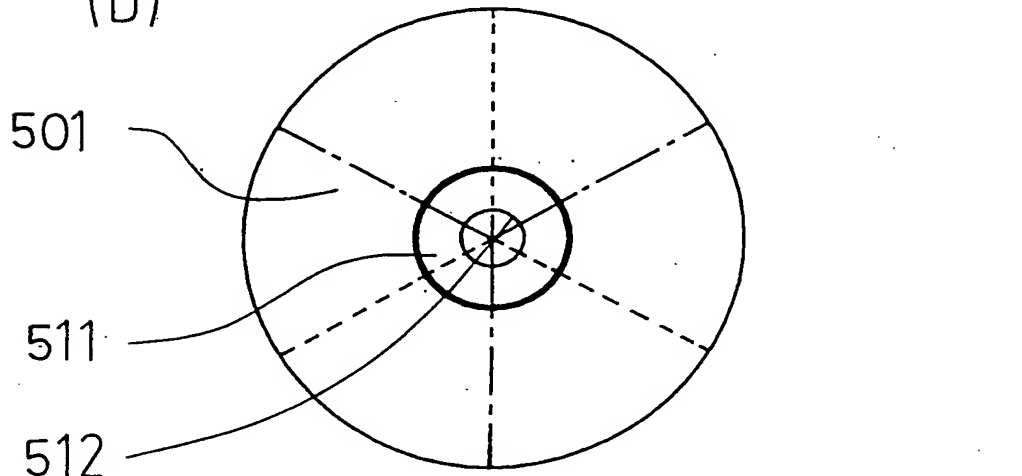
<Four-division mode>

FIG. 47

(a)

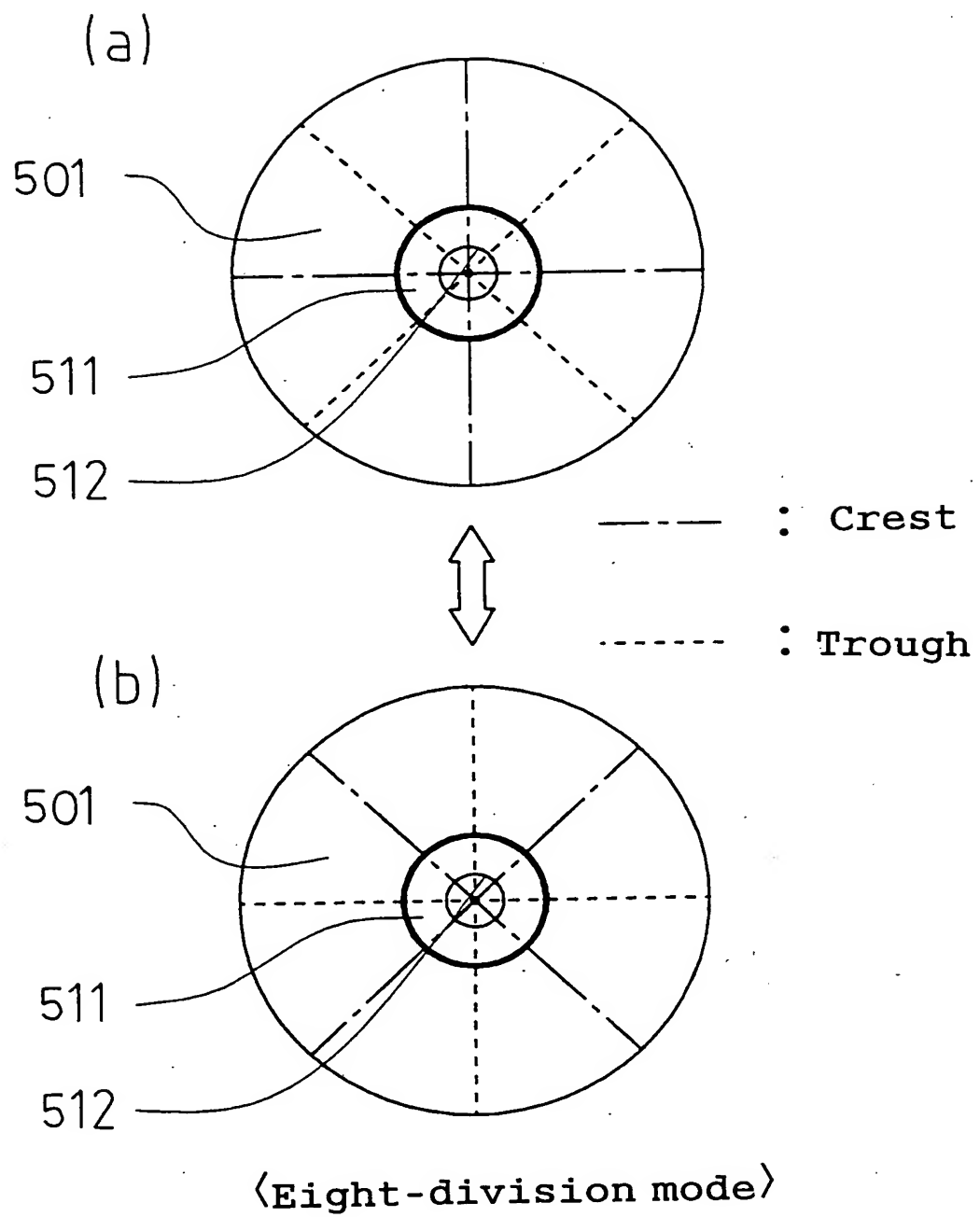


(b)



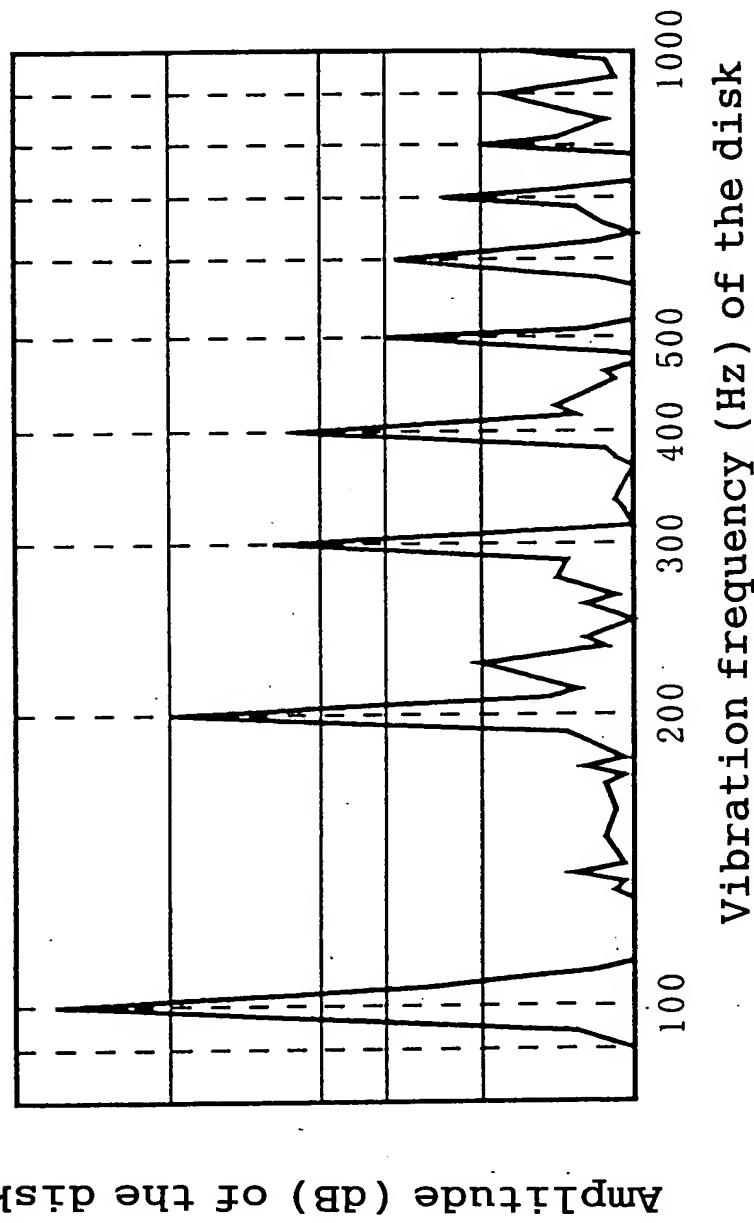
⟨Six-division mode⟩

FIG. 48



40/64

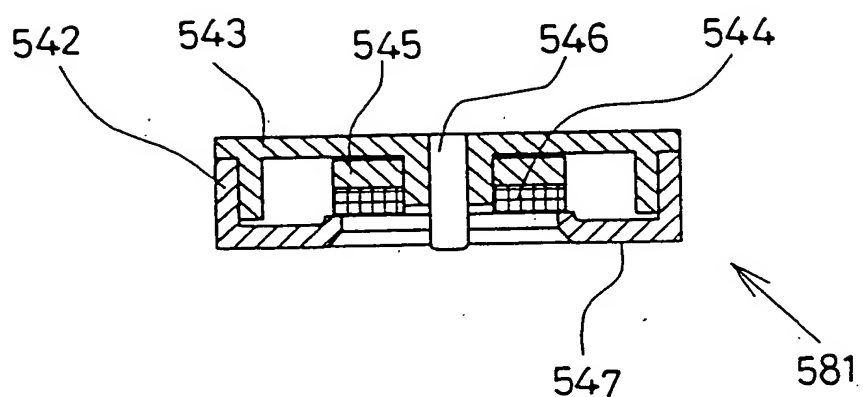
FIG. 49



41/64

FIG. 50

(a)



(b)

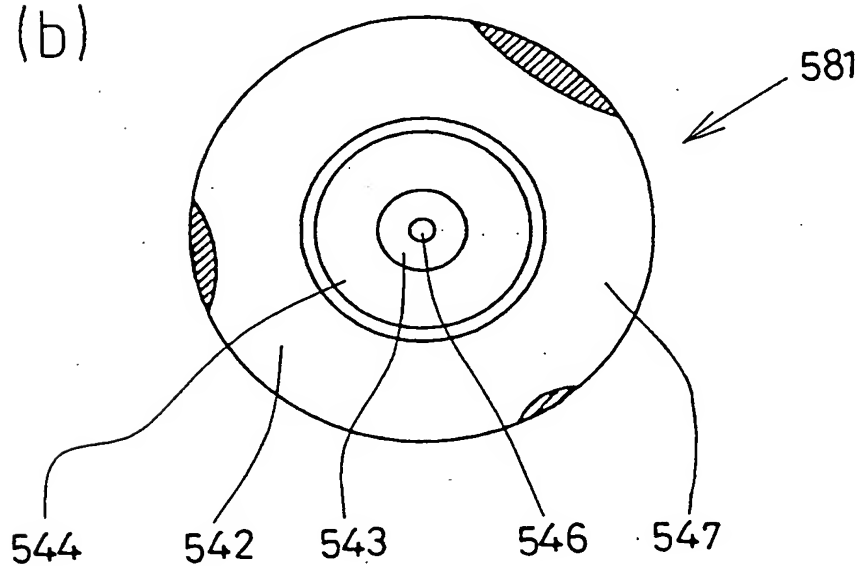
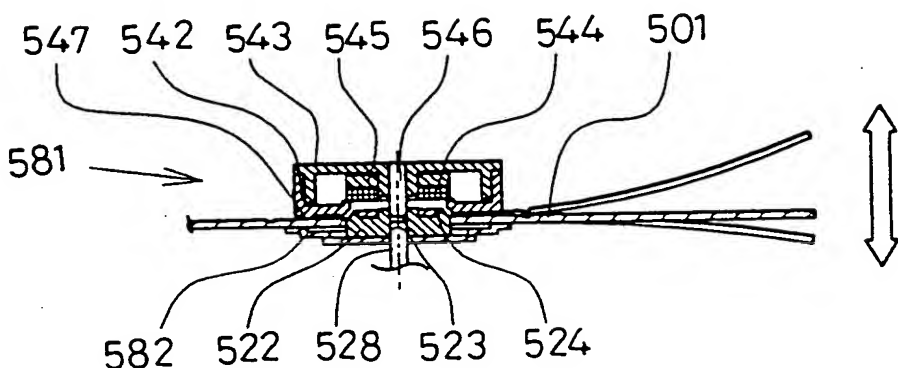


FIG. 51

(a)



(b)

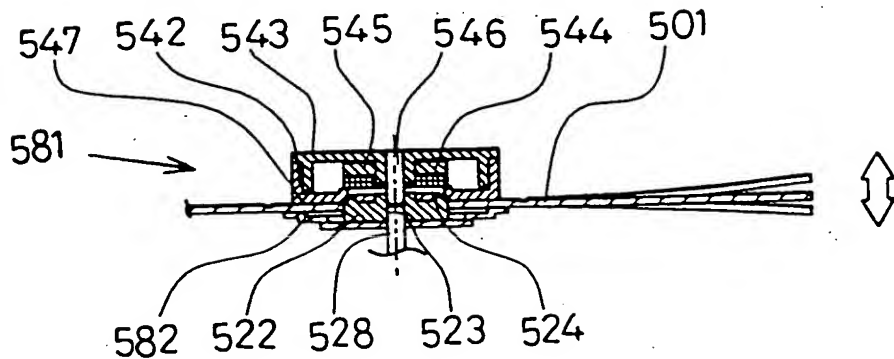
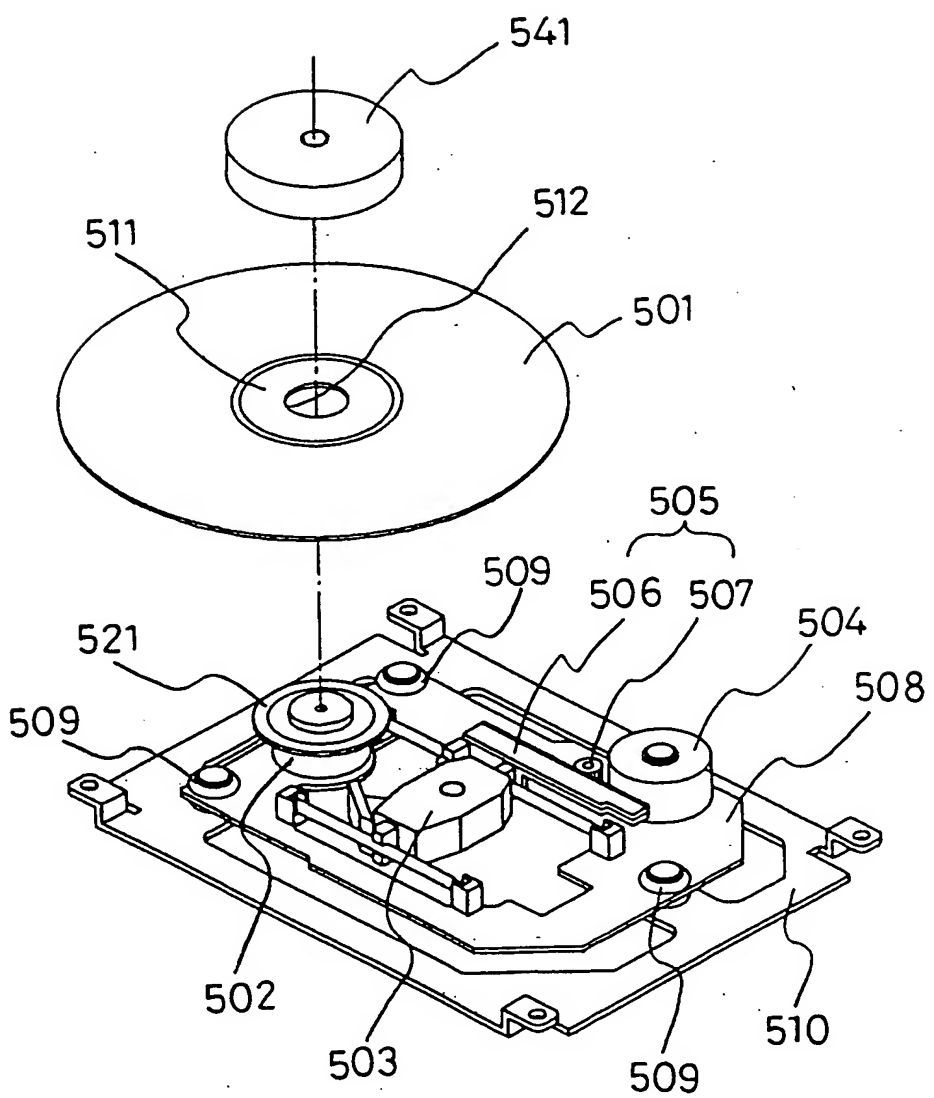


FIG. 52



44/64

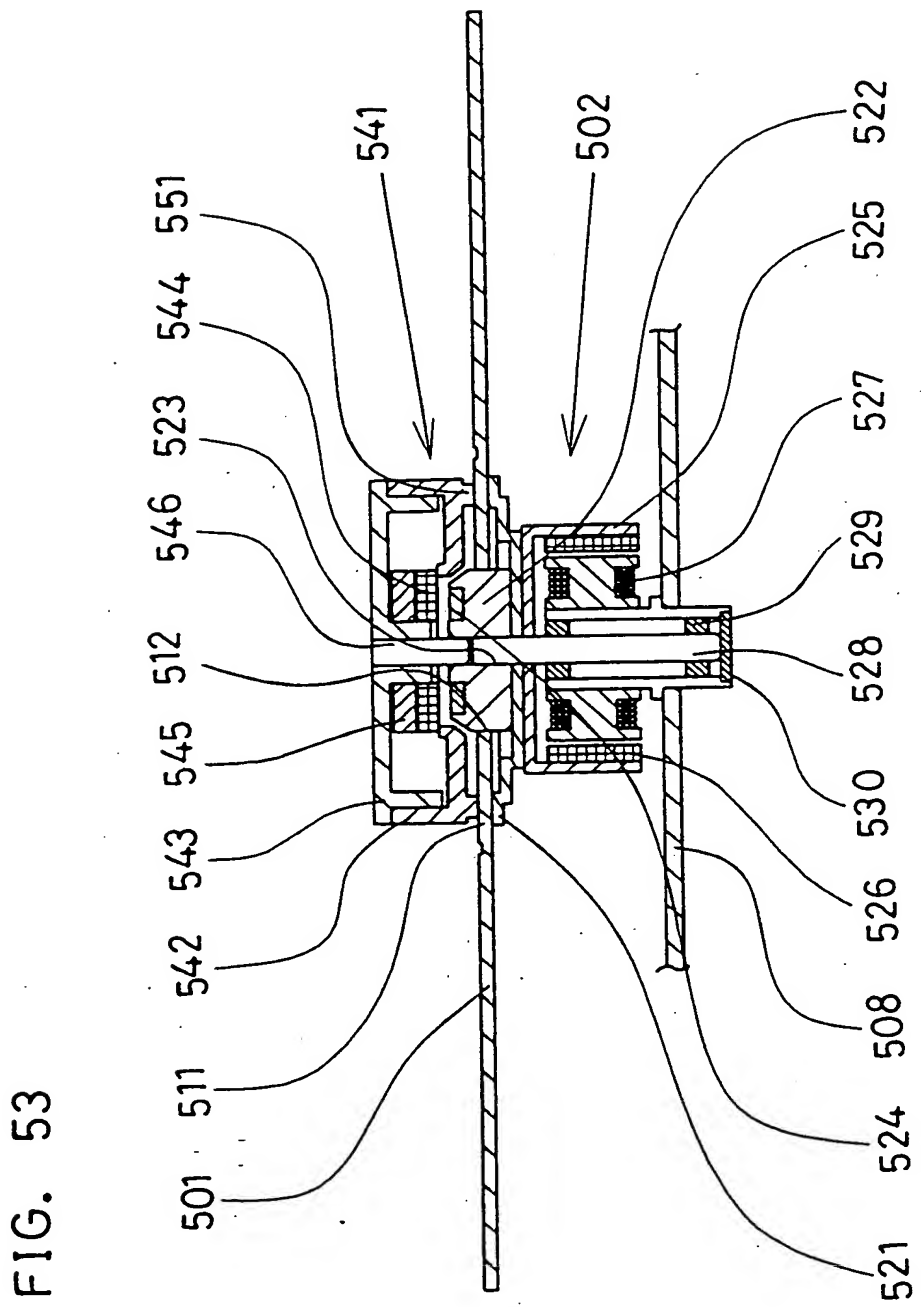
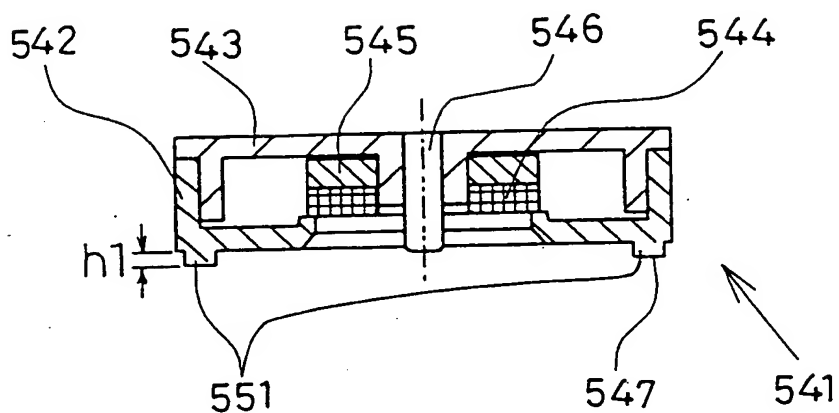


FIG. 53

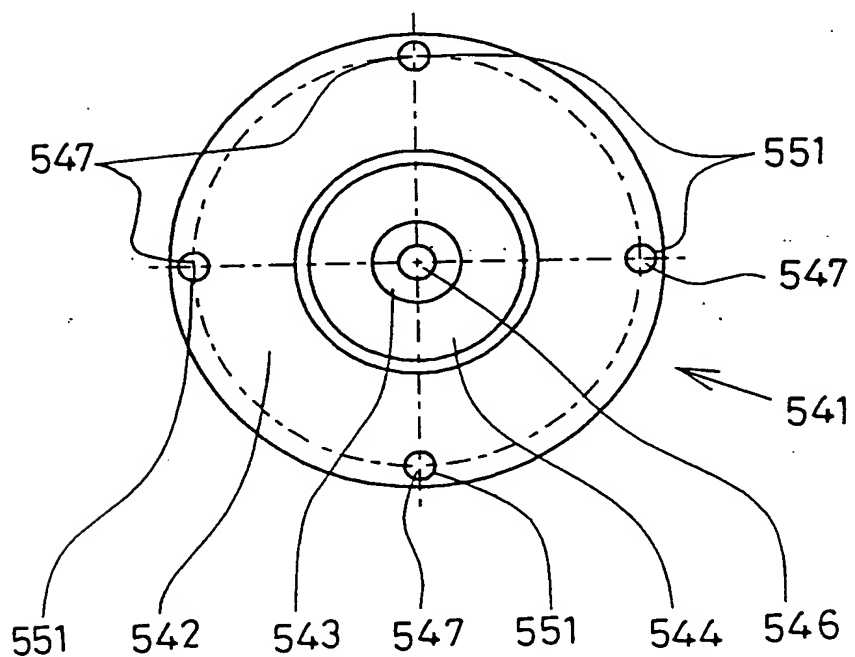
45/64

FIG. 54

(a)



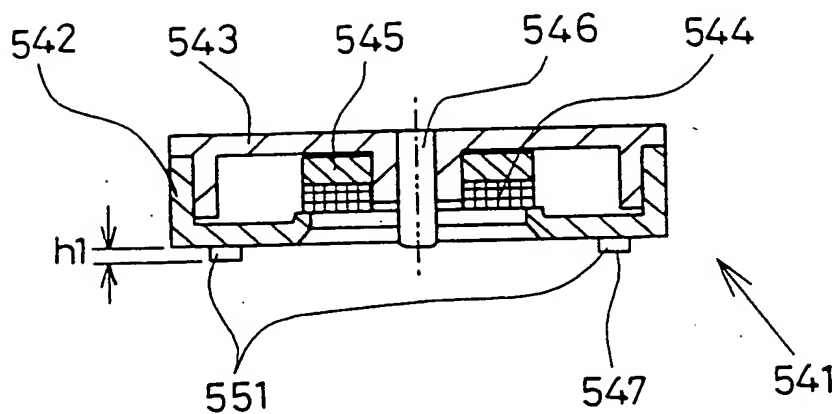
(b)



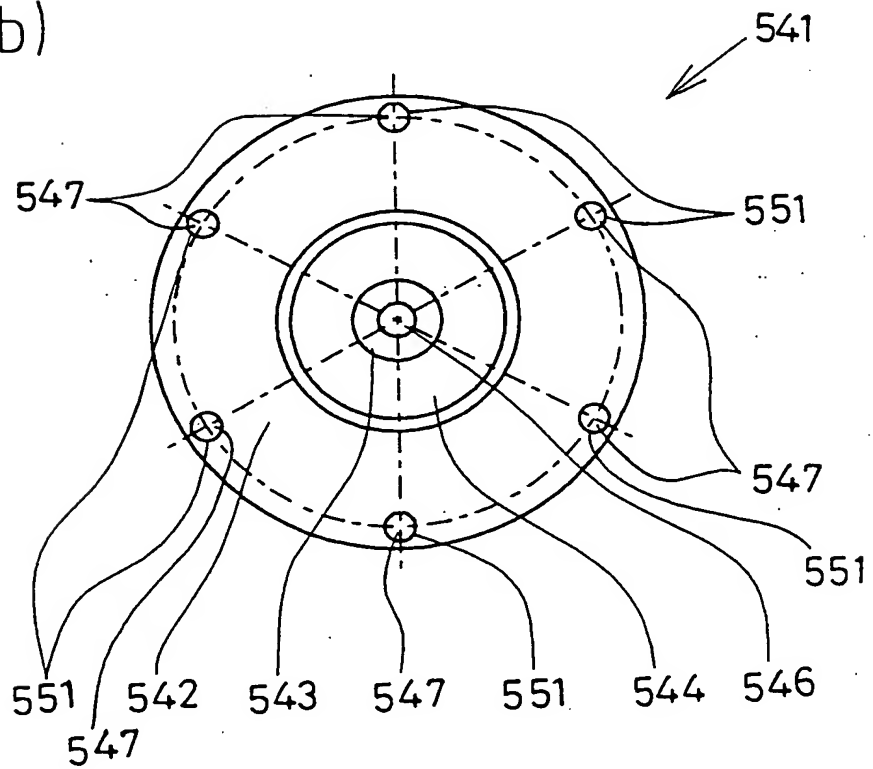
46/64

FIG. 55

(a)



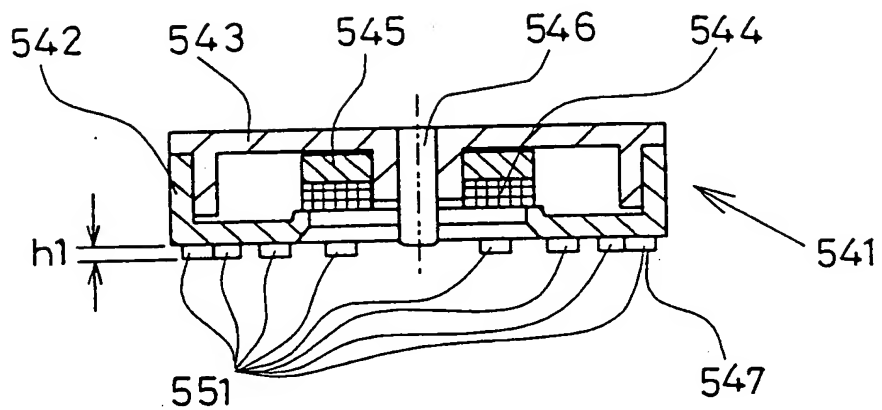
(b)



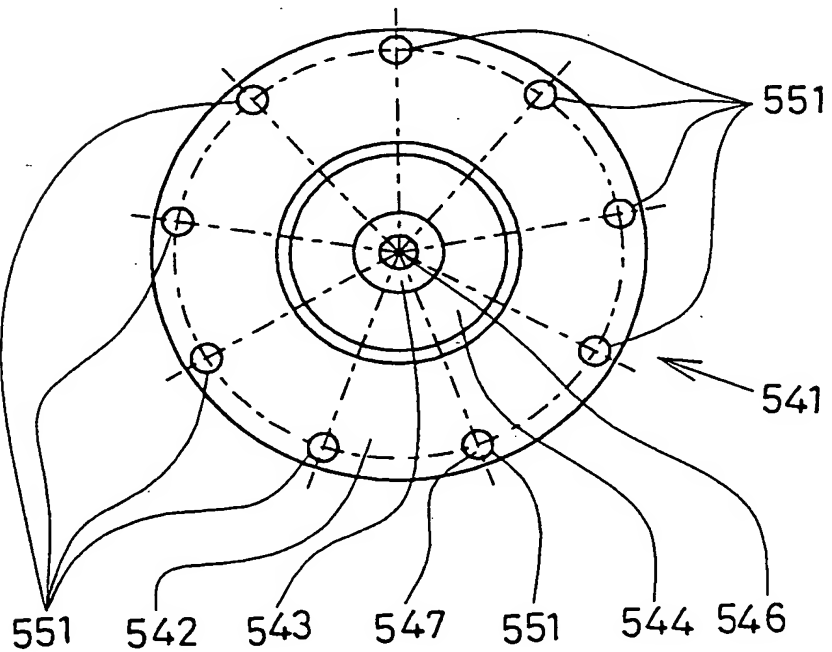
47/64

FIG. 56

(a)



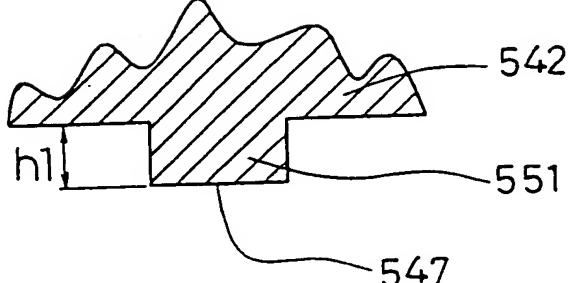
(b)



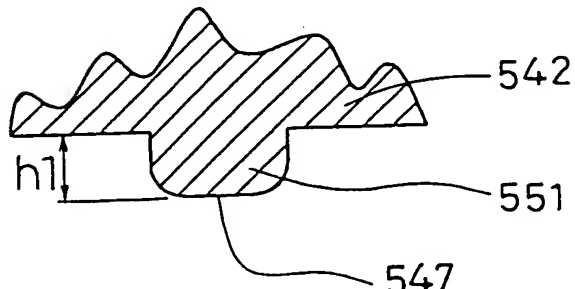
48/64

FIG. 57

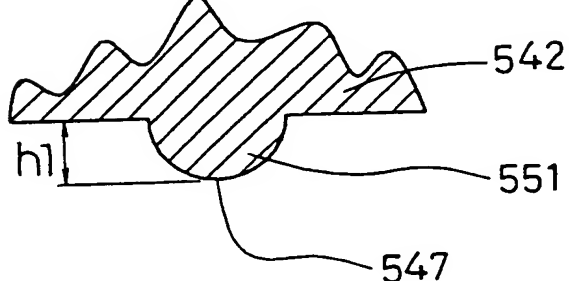
(a)



(b)



(c)



(d)

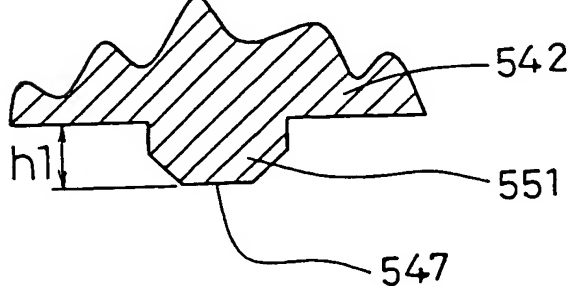
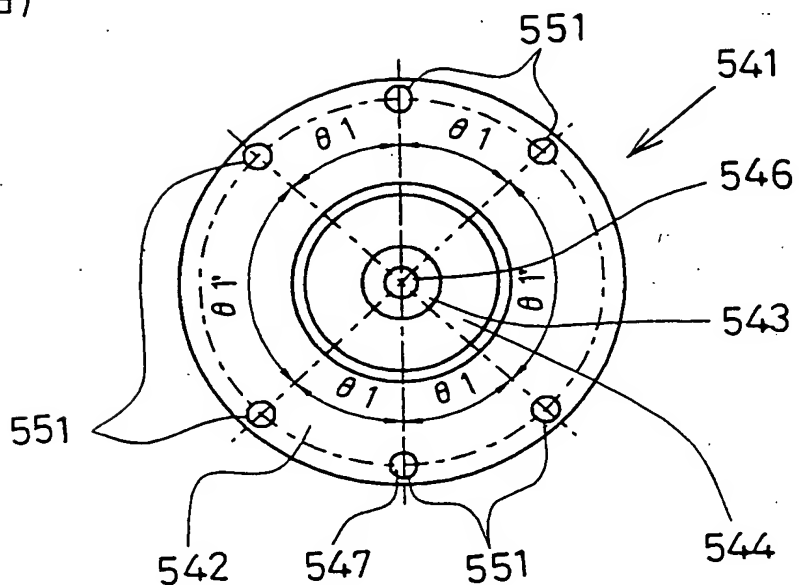


FIG. 58

(a)



(b)

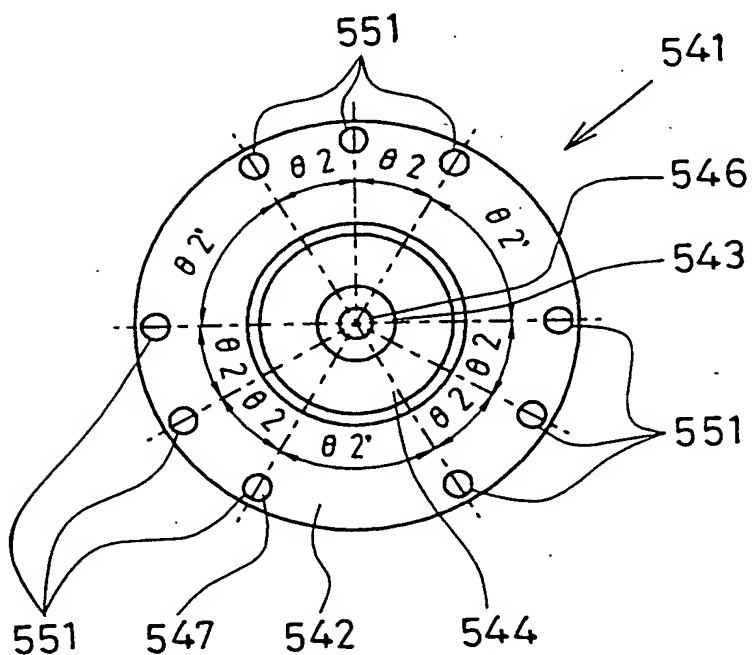
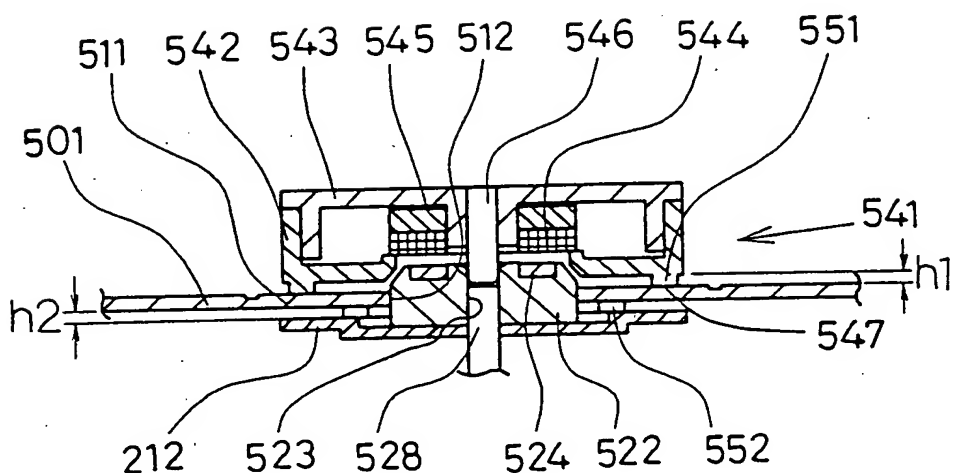
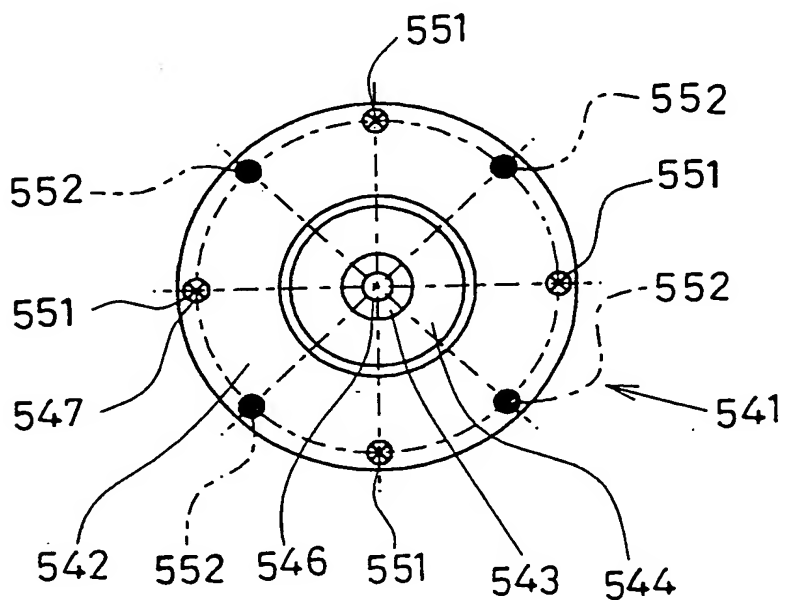


FIG. 59

(a)



(b)

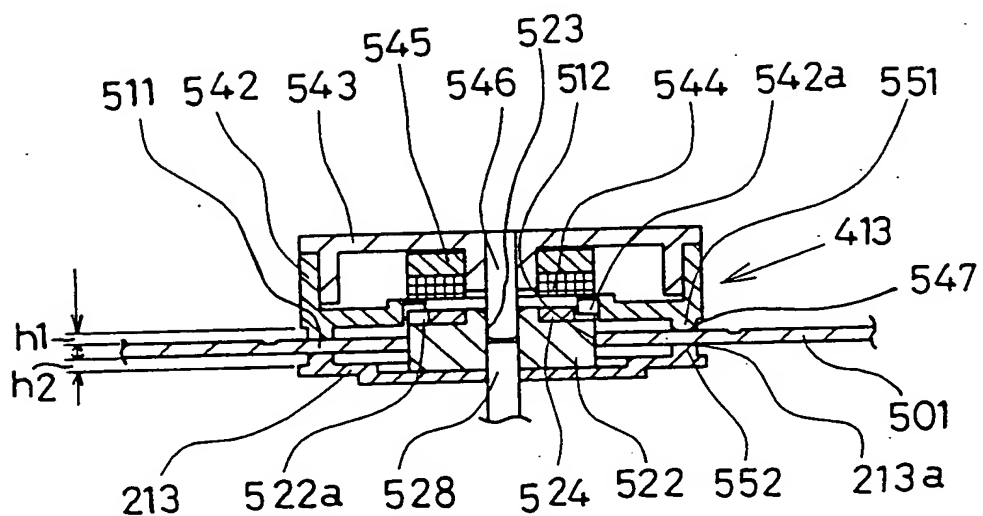


● : Turntable
projection

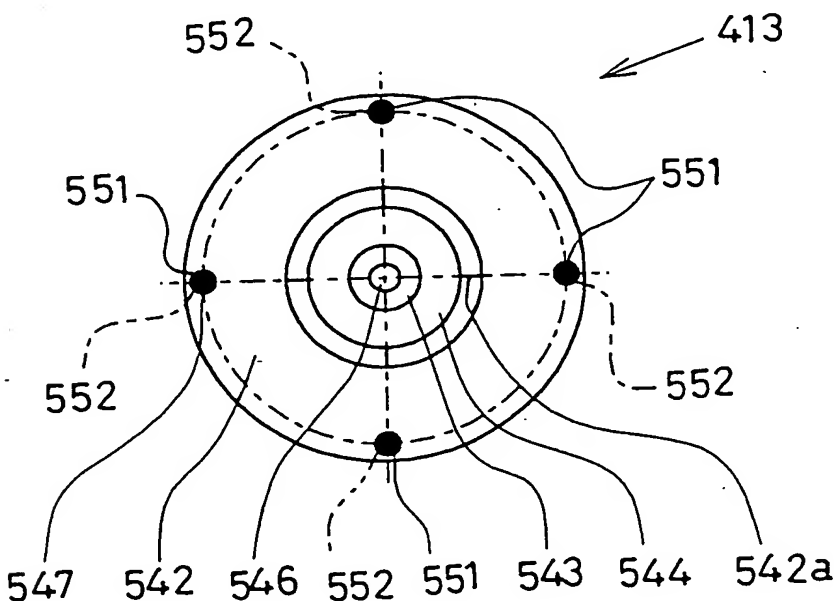
⊗ : Clamper
projection

FIG. 60

(a)



(b)

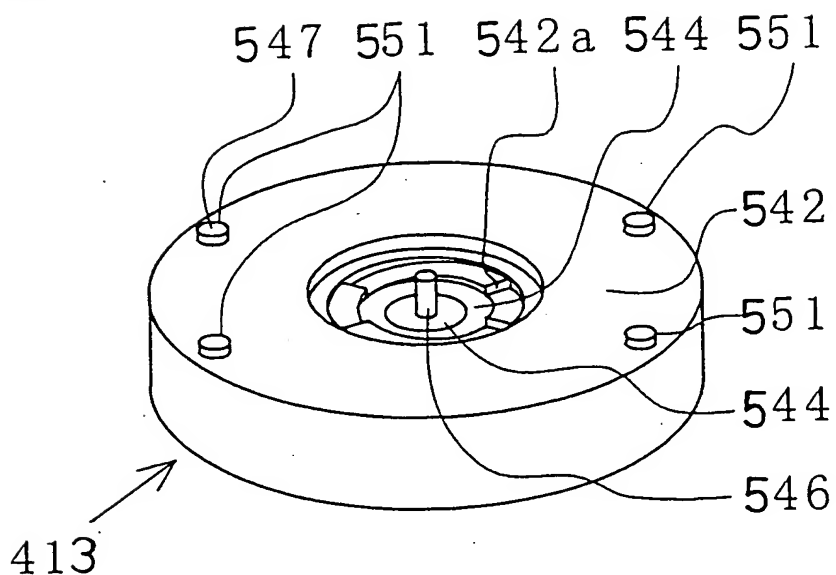


● : Turtable projection

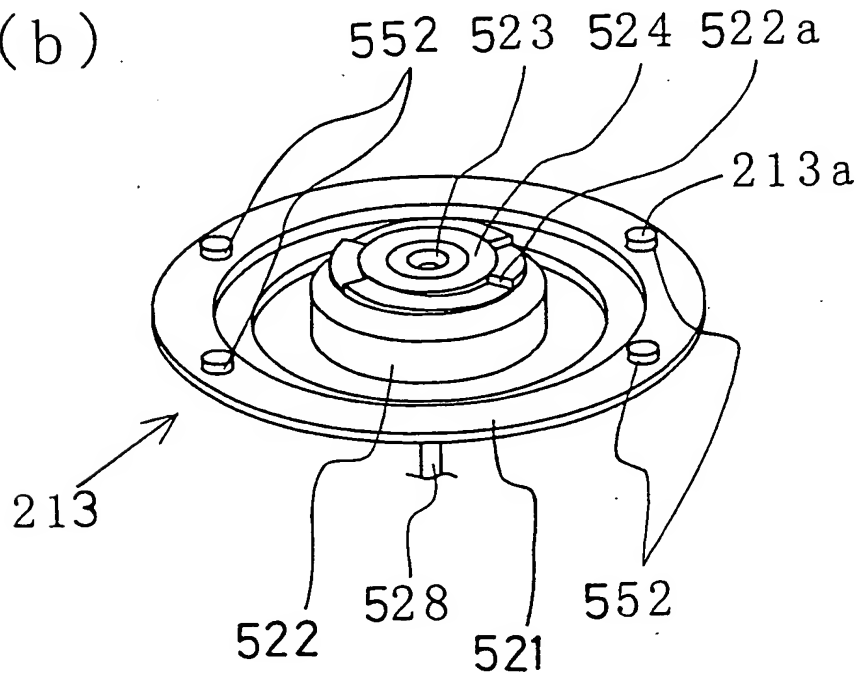
⊗ : Clamper projection

FIG. 61

(a)



(b)

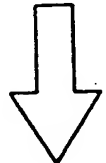
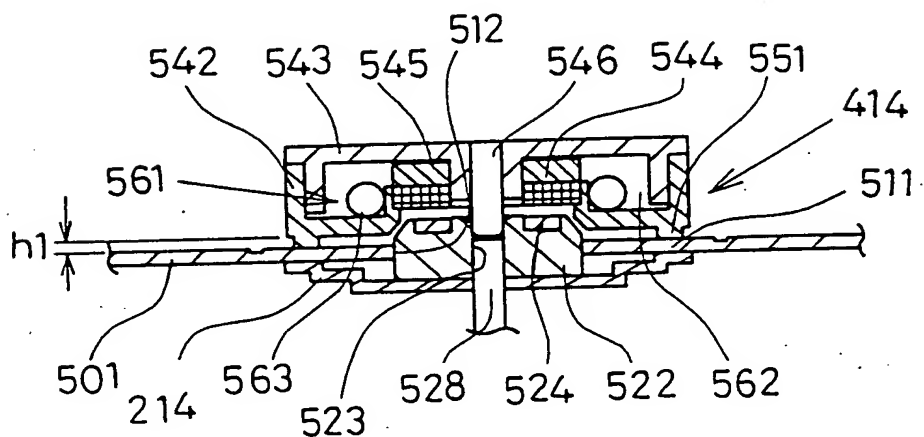


53/64

FIG. 62

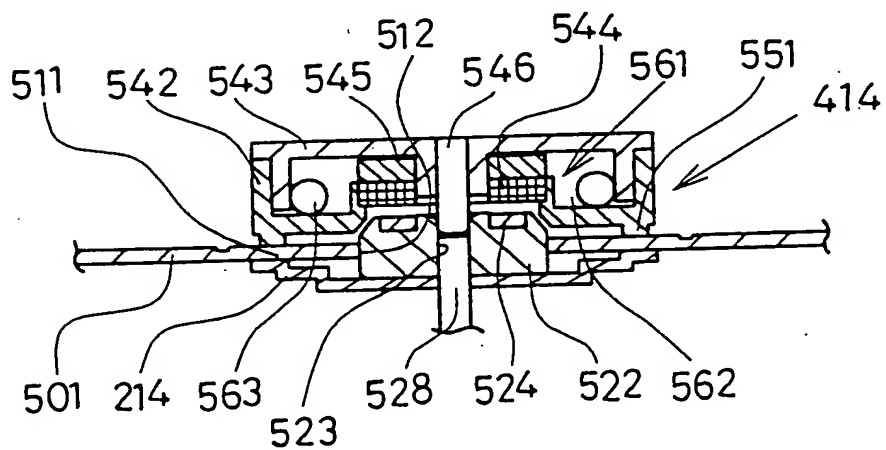
(a)

(Rest)



(b)

(Rotation)

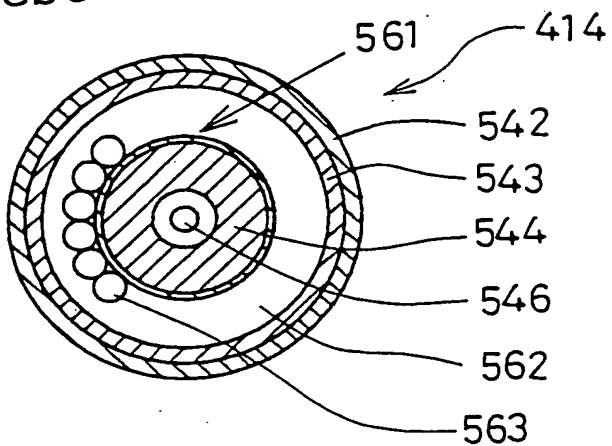


54/64

FIG. 63

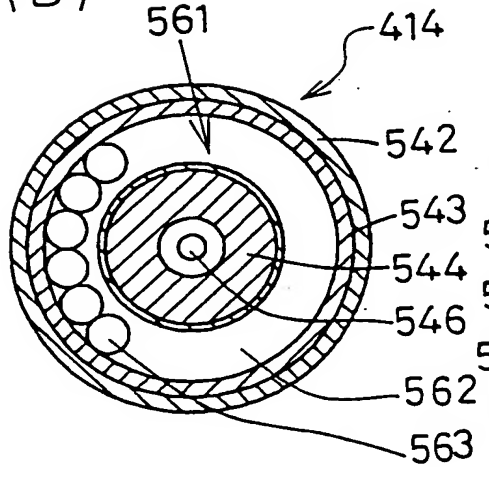
(a)

(Rest state)



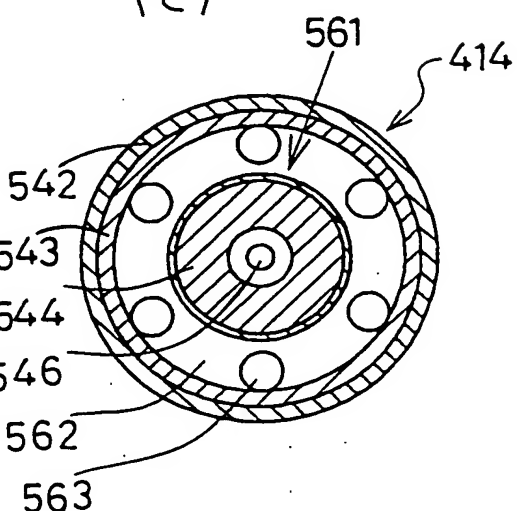
(Rotation)

(b)



Imbalance

(c)

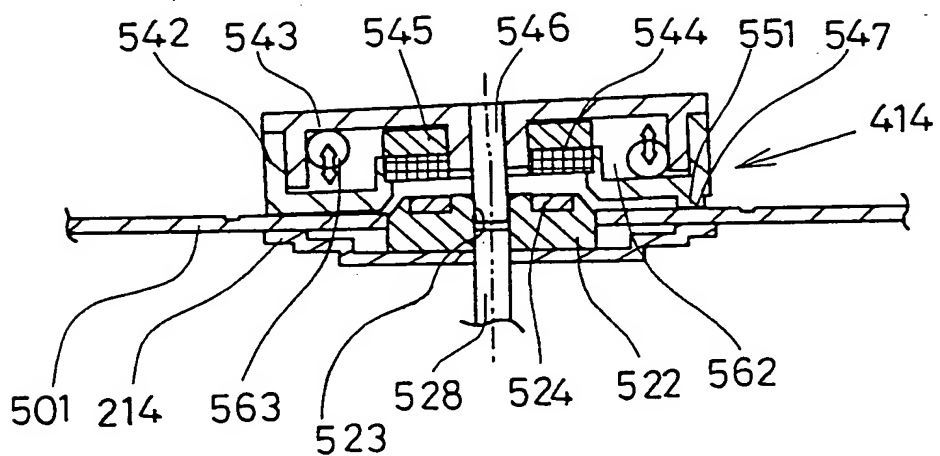


No Imbalance

55/64

FIG. 64

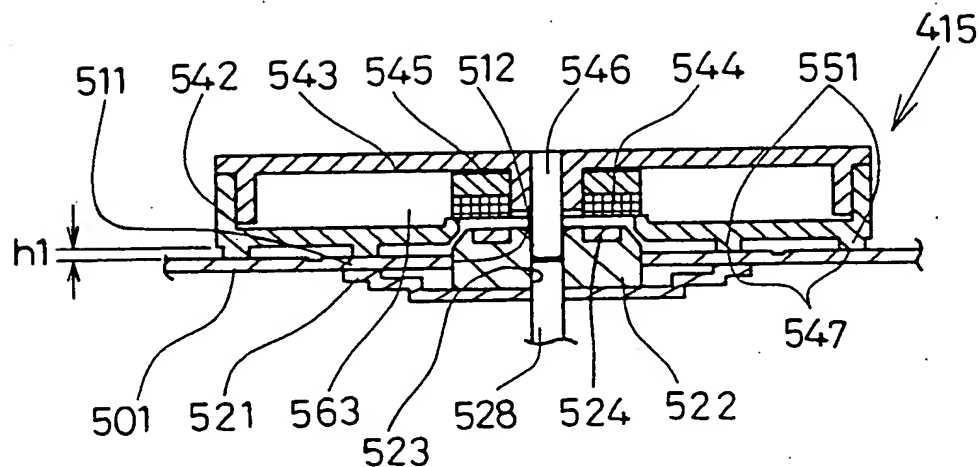
(Rotation state)



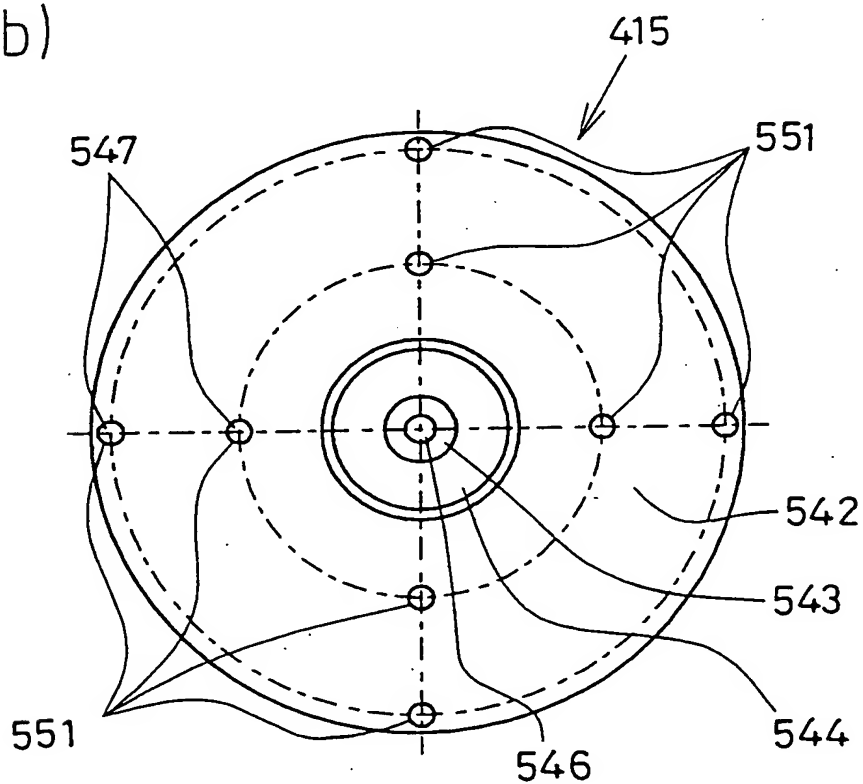
56/64

FIG. 65

(a)



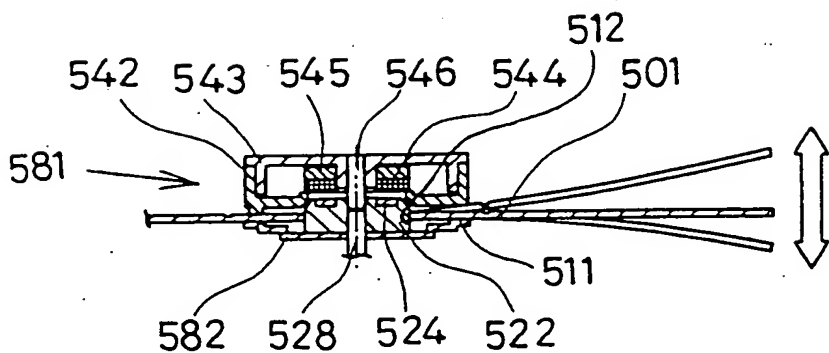
(b)



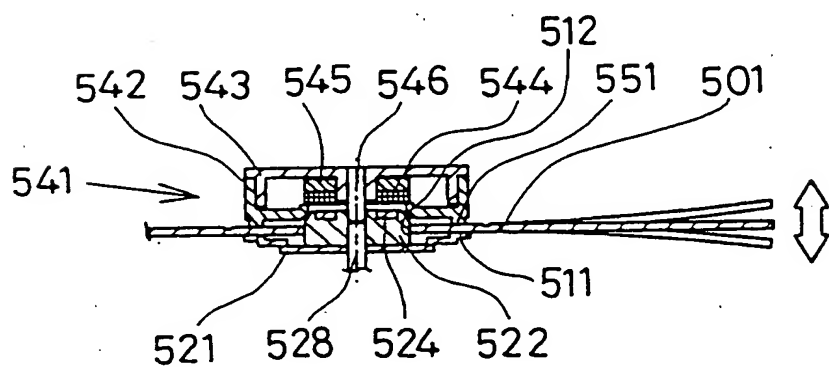
57/64

FIG. 66

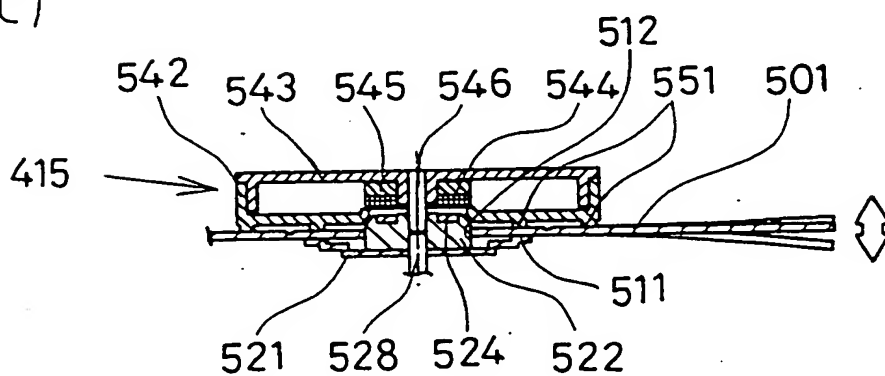
(a)



(b)



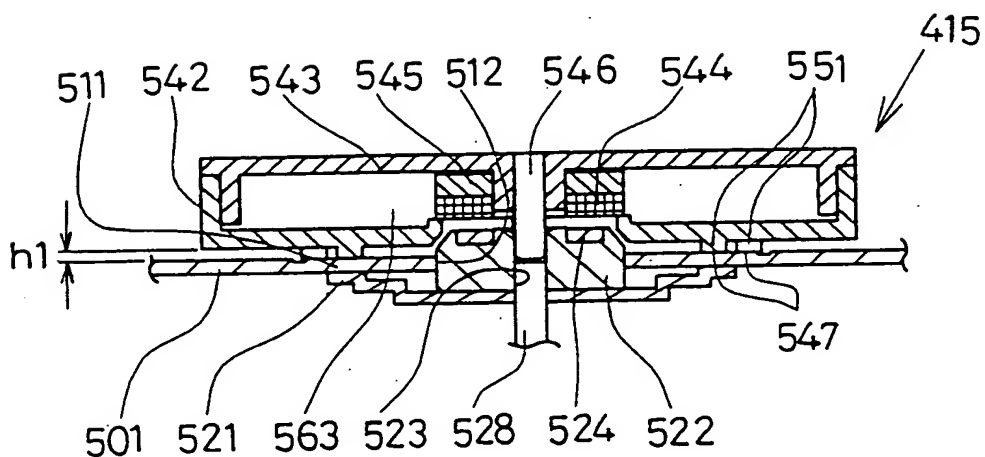
(c)



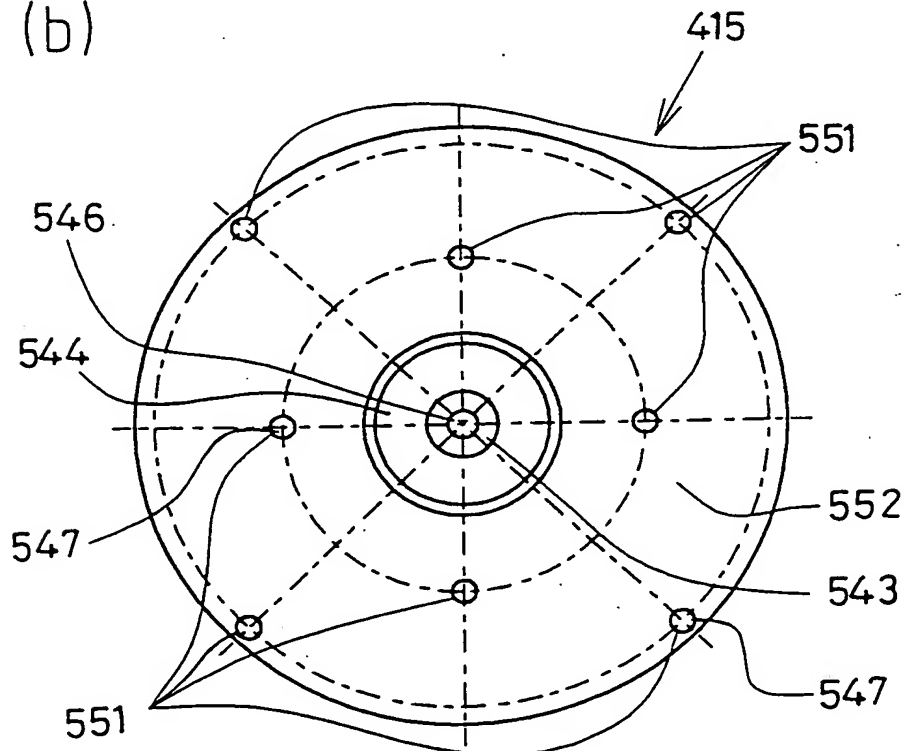
58/64

FIG. 67

(a)



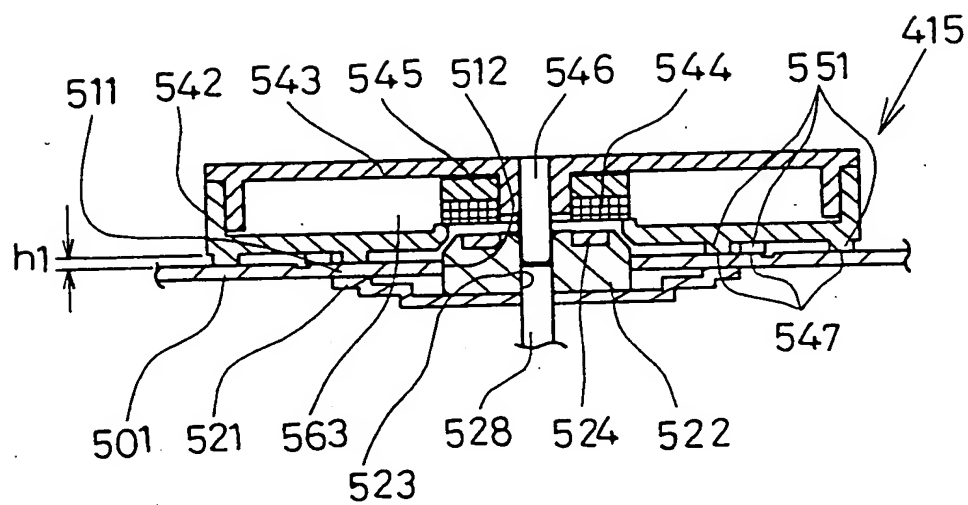
(b)



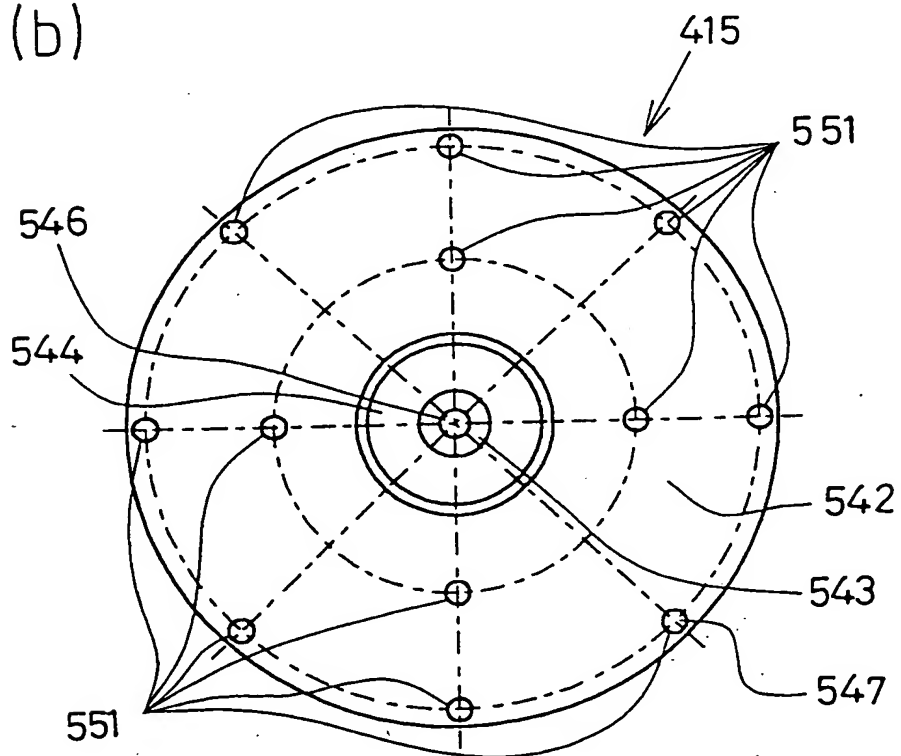
59/64

FIG. 68

(a)



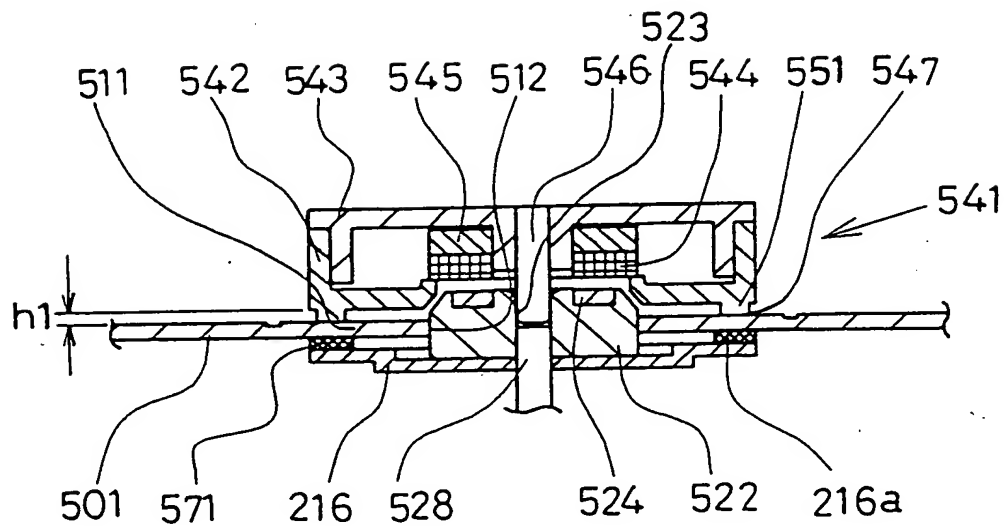
(b)



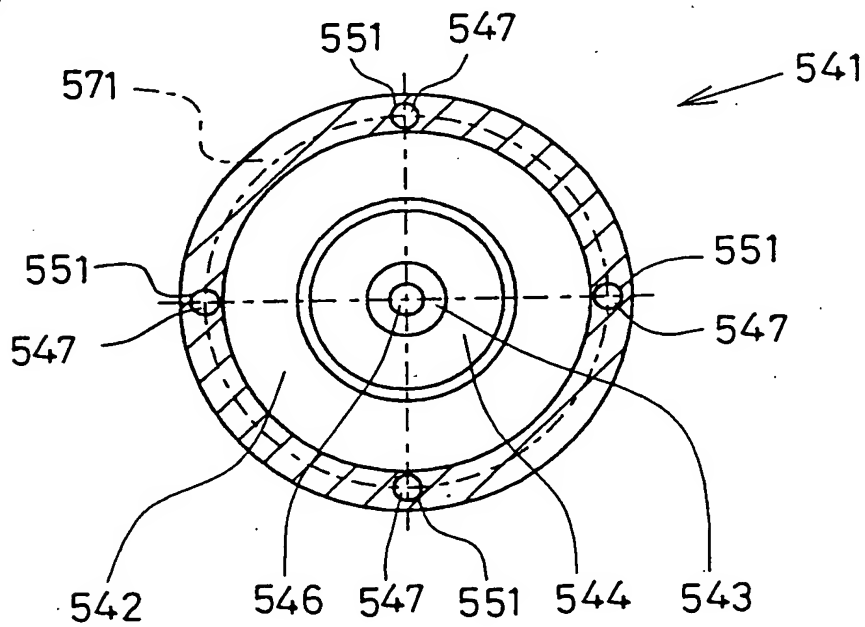
60/64

FIG. 69

(a)



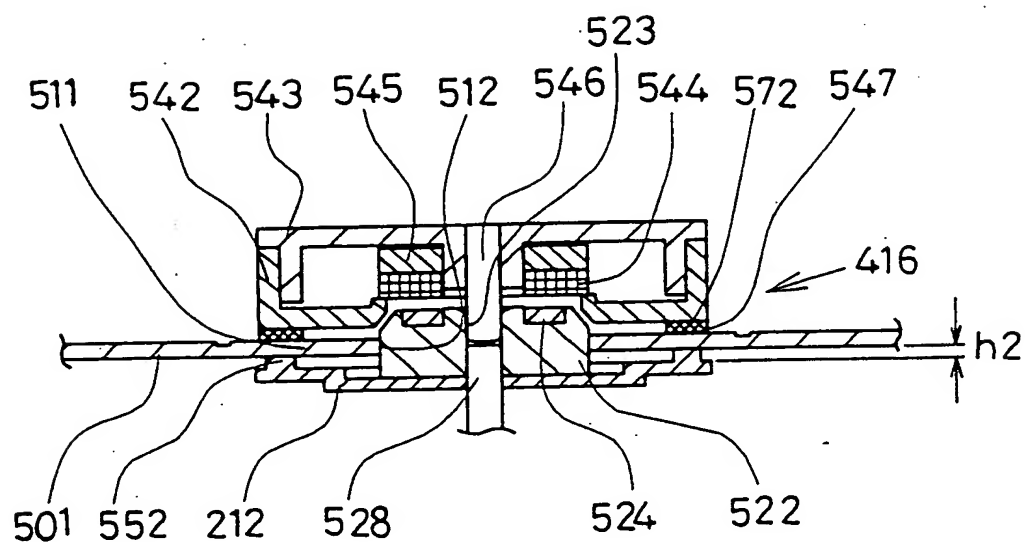
(b)



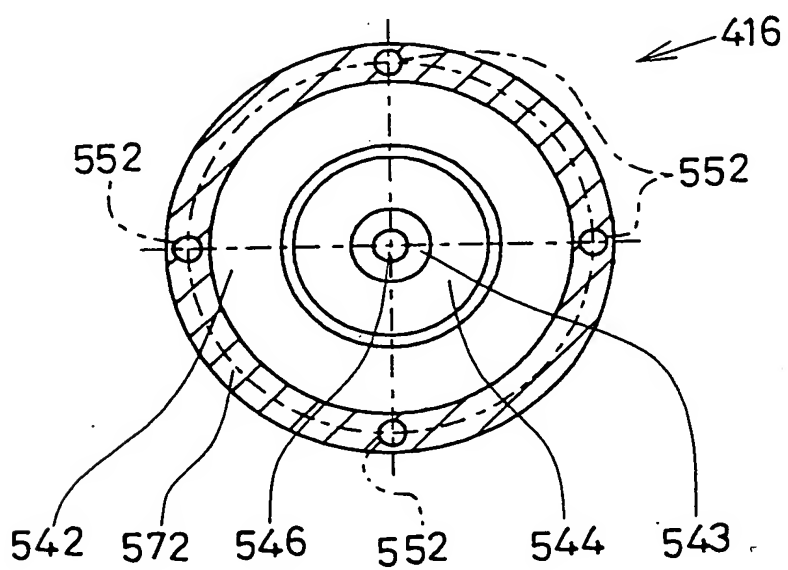
61/64

FIG. 70

(a)



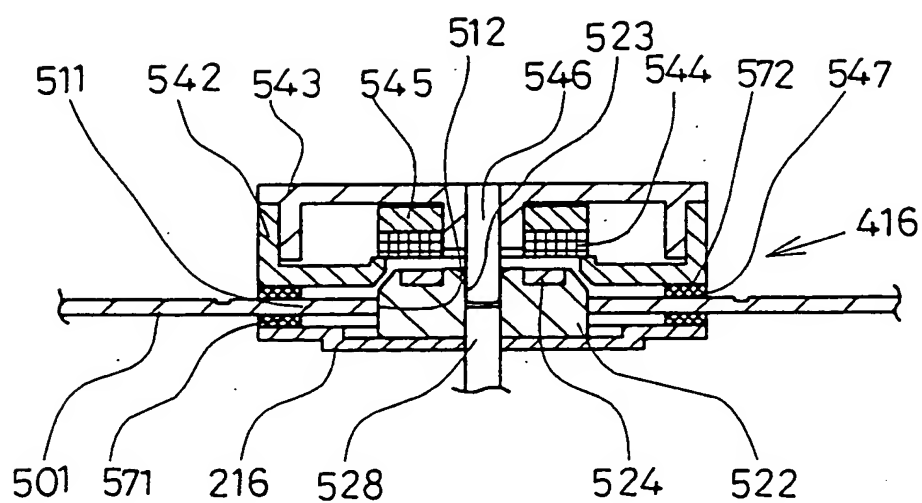
(b)



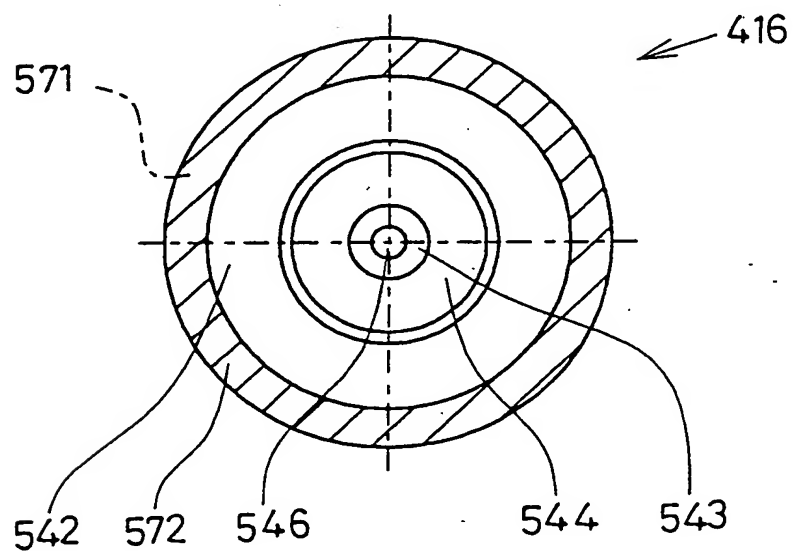
62/64

FIG. 71

(a)



(b)



63/64

FIG. 72

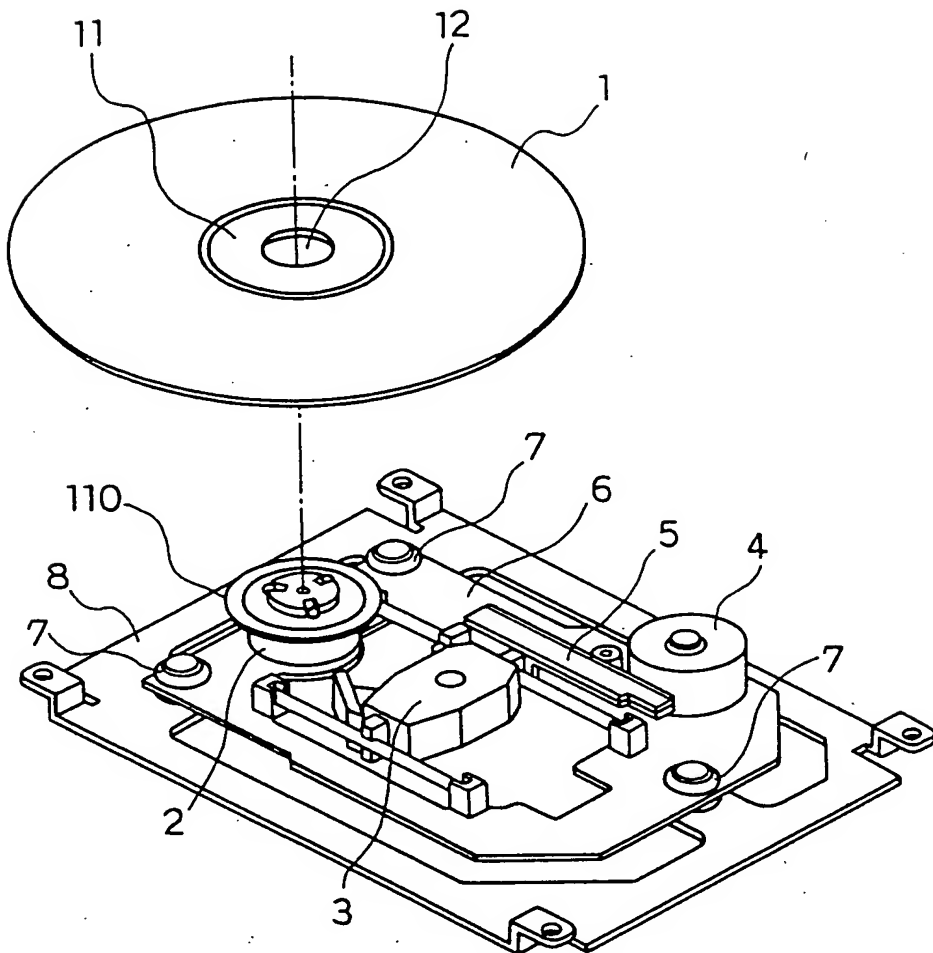


FIG. 73

